

Radiační biofyzika

Přednáška 6 2022

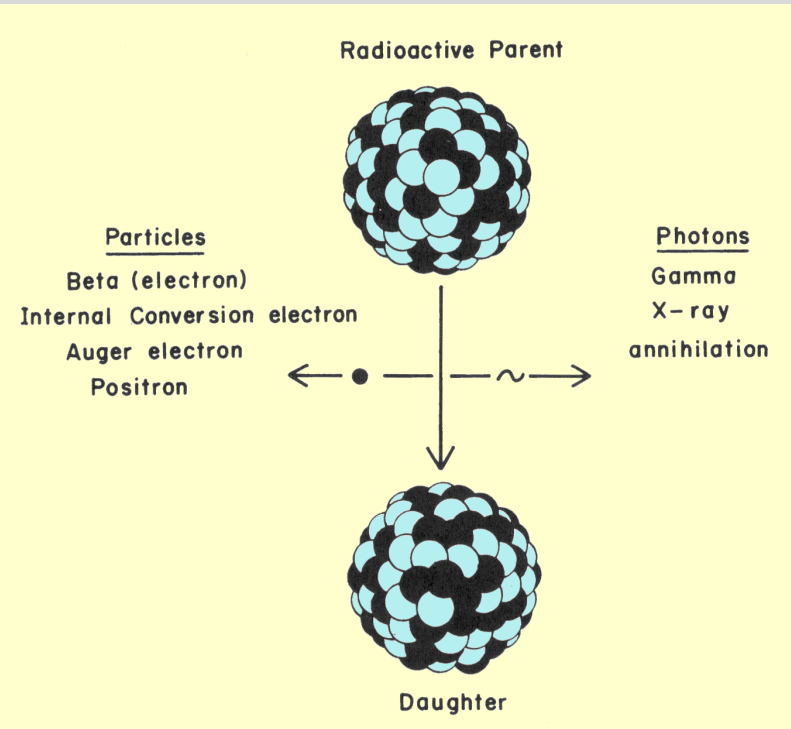
Radioaktivní přeměny,

Interakce IZ

Martin Falk



RADIOAKTIVITA



- $X \rightarrow Y + n$ částic (+E)

- **Základní hmotnostní podmínka radioaktivity:**

$$M(X) > M(Y) + M(\text{ČASTIC})$$

- **Energie uvolněna při radioaktivní přeměně:**

$$E_{\text{přeměny}} = E_{\text{kin}}(Y) + E_{\text{kin}}(\text{ČASTIC}) + E_{\gamma}$$

- Aby k radioaktivní přeměně mohlo dojít, musí být podle zákona zachování energie splněna **hmotnostně~energetická** podmínka $m(Y) + m(\check{c}) < m(X)$, kde $m(X)$ je hmotnost mateřského jádra X (analogicky u dceřinného jádra Y) a $m(\check{c})$ je klidová hmotnost emitované částice č.
- Při jaderné přeměně se uvolňuje **kinetická energie** $\Delta E = [m(X)-m(Y)-m(\text{částic})].c^2$, jejíž většinu odnáší emitovaná částice, malou část též výsledné jádro Y, odražené v důsledku zákona akce a reakce.
- Energetický rozdíl mezi základními stavy rodičovského a dceřinného systému se nazývá **energie přeměny Q**.

PROCES ROZPADU RADIOAKTIVNÍCH JADER

- radioaktivní jádra nemají paměť
- MÁ STATISTICKOU PODSTATU

- radionuklid s N radioaktivními jádry:
- **pravděpodobnost rozpadu** každého jádra daného nuklidu za pevně zvolený časový interval je v každém okamžiku **stejná**

$$\begin{aligned} dN &= -\lambda N dt \\ \frac{dN}{N} &= -\lambda dt \\ \int_{N_0}^N \frac{dN_t}{N_t} &= -\lambda \int_0^t d\tau \end{aligned}$$

integrace

$$N = N_0 e^{-\lambda t}$$

N_0 je počet jader ve vzorku v čase $t = 0$

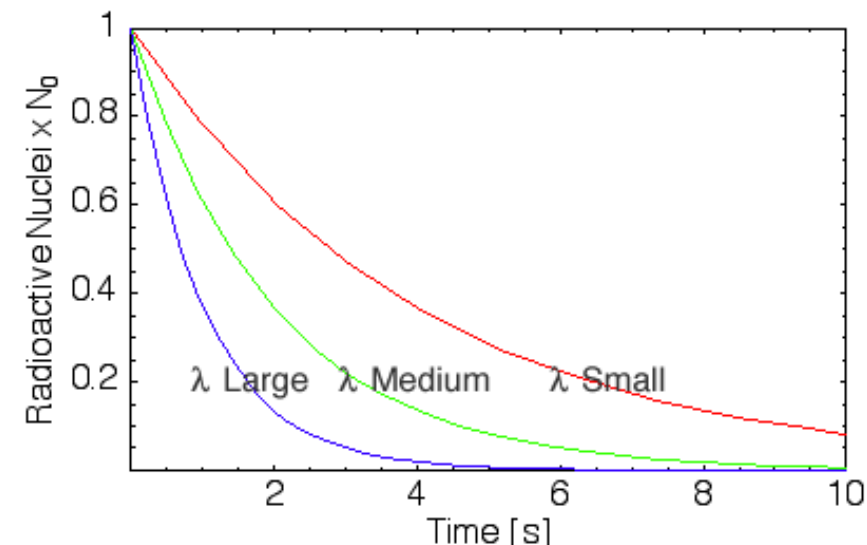
N je počet zbylých (nerozaďlých) jader v libovolném následujícím okamžiku t
 e – Eulerovo číslo, 2,71828.....

úbytek jader v čase $-\frac{dN}{dt}$ je úměrný jejich výchozímu počtu N a závisí na **přeměnové (rozpadové) konstantě** $[s^{-1}]$

$$-\frac{dN}{dt} = \lambda N = A$$

λ je charakteristickou konstantou daného nuklidu

Př.: $\lambda = 1 \cdot 10^{-3} s^{-1} \rightarrow$ za 1 s se rozpadne 1/1000 z přítomného počtu jader



.....PŘEMĚNOVÝ (ROZPADOVÝ) ZÁKON

- rozpad není ovlivněn tlakem a teplotou
- přeměnová konstanta nezávisí na chemickém stavu atomu, vyjma rozpadů, které jsou spojeny s interakcí obalového elektronu (EZ, vnitřní konverze)
- u větvené přeměny je celková pravděpodobnost dána součtem

(FYZIKÁLNÍ) POLOČAS ROZPADU

doba T , za kterou se samovolně přemění **přesně polovina** původního počtu jader

$$\text{dosadíme: } t = t_{1/2}$$

$$N = \frac{1}{2} N_0$$

$$\begin{aligned} N &= N_0 e^{-\lambda t} \\ \frac{1}{2} N_0 &= N_0 e^{-\lambda t_{1/2}} \\ \frac{1}{2} &= e^{-\lambda t_{1/2}} \end{aligned}$$

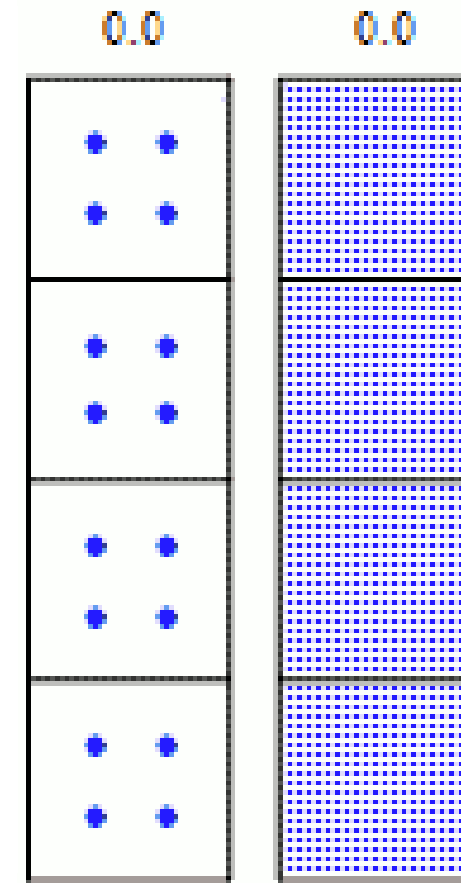
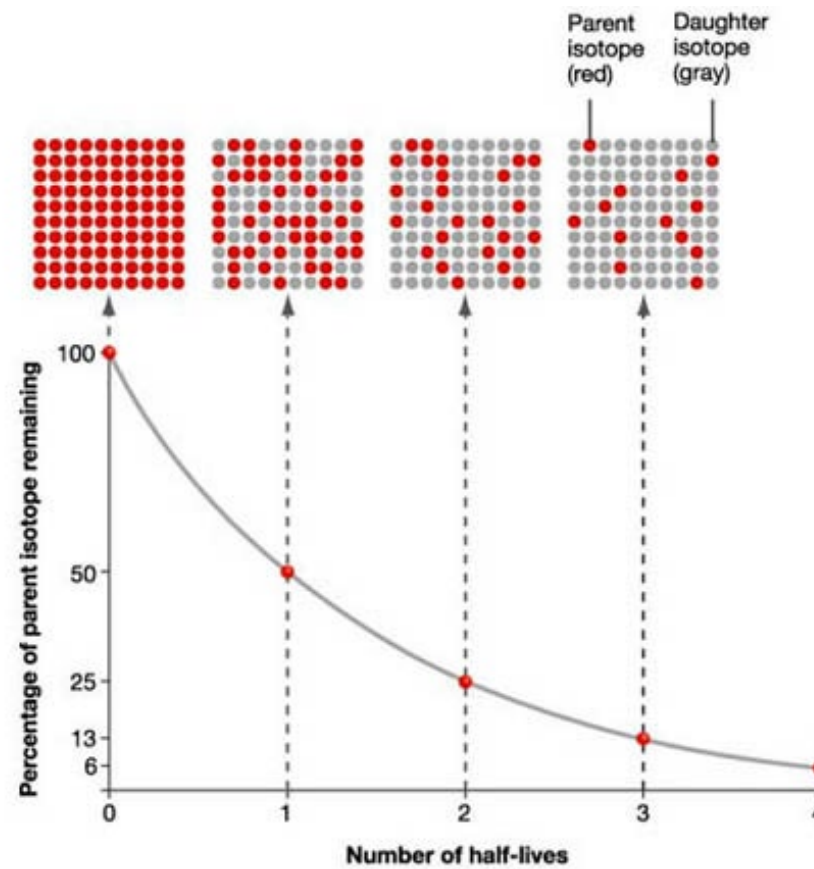
logaritmujeme

$$\lambda T = -\ln \frac{1}{2}$$

$$T = \frac{\ln 2}{\lambda} = \frac{0,693}{\lambda}$$

POLOČAS ROZPADU

The number represents how many half lives have passed.



Střední doba života jádra

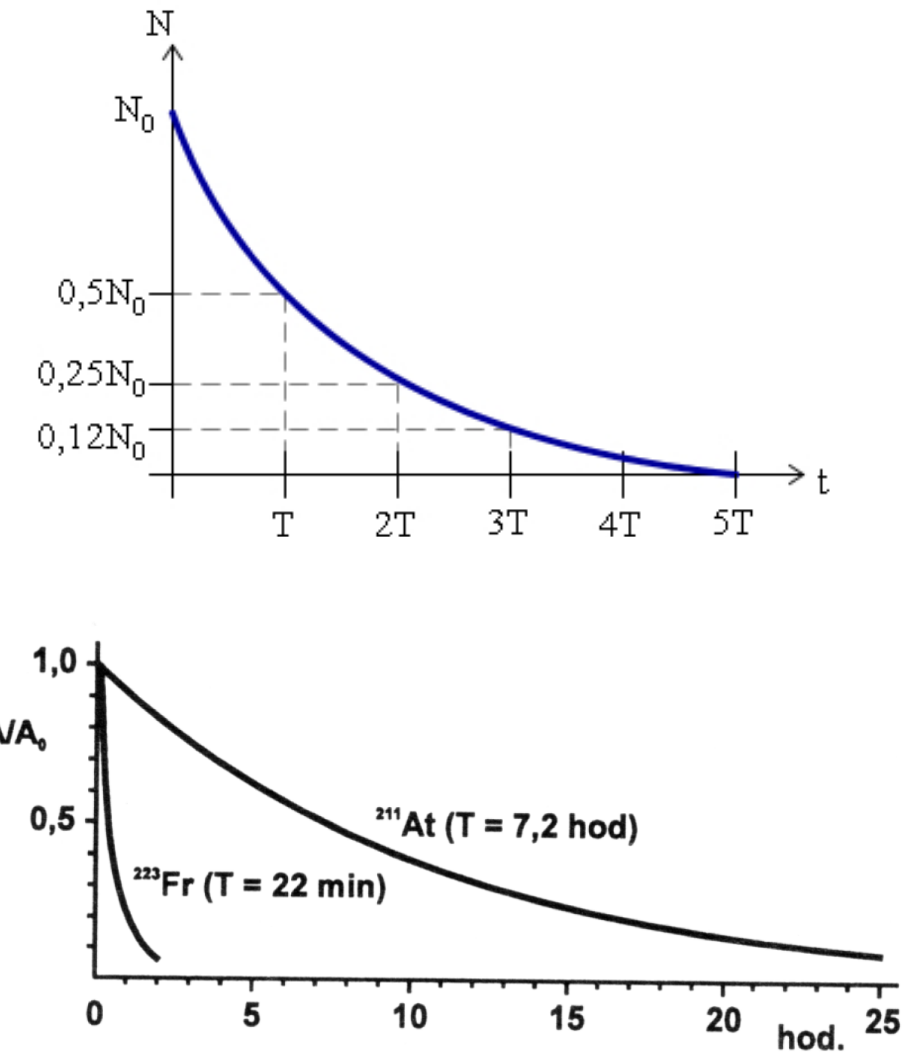
Vedle rozpadové konstanty λ a poločasu rozpadu $T_{1/2}$ se někdy zavádí **střední doba života jádra**,

$$\tau = \frac{1}{\lambda} = T_{1/2}/\ln 2 \quad [\text{s}]$$

Poznámka:

Nomenklatura $T = T_{1/2} = t_{1/2}$

- což je **pravděpodobnost přeměny** radioaktivního atomu za časovou jednotku
- zároveň doba ($t=\tau$), za kterou klesne aktivita na $1/e \cong 0,3679$ své původní hodnoty.
- Všechny tyto tři veličiny (**poločas přeměny $T_{1/2}$, přeměnová konstanta λ a střední doba života τ**) udávají, jak rychle se radionuklid přeměňuje či rozpadá.



Přeměnové konstanty a poločasy některých radioaktivních nuklidů.

| Nuklid | λ (s^{-1}) | poločas |
|-------------------|-------------------------------|------------------------|
| ^{238}U | $4,87 \cdot 10^{-18}$ | $4,51 \cdot 10^9$ roků |
| ^{14}C | $3,84 \cdot 10^{-12}$ | 5736 roků |
| ^{137}Cs | $7,23 \cdot 10^{-10}$ | 30 roků |
| ^{131}I | $9,93 \cdot 10^{-7}$ | 8,1 dní |
| ^{211}At | $2,67 \cdot 10^{-5}$ | 7,2 hodin |
| ^{223}Fr | $5,25 \cdot 10^{-4}$ | 22 minut |
| ^{262}Db | 0,0204 | 34 s |
| ^{263}Sg | 0,77 | 0,9 s |

seaborgium

AKTIVITA RADIONUKLIDU

= rychlosť rozpadu radionuklidu:

$$-\frac{dN}{dt} = \lambda N$$

z premenového zákona: $N = N_0 e^{-\lambda t} =$

$$A = -\frac{dN}{dt} = \boxed{\lambda N_0} e^{-\lambda t}$$

$$T_{1/2} = \frac{\ln 2}{\lambda} = \frac{0,693}{\lambda}$$

n = počet poločasů rozpadu

$$t = n \cdot T$$

$$A = A_0 e^{-\lambda t} = A_0 \cdot (1/2)^{t/T} = A_0 \cdot (1/2)^n$$

$A_0 = \lambda N_0$... rychlosť rozpadu v čase $t = 0$

A ... aktivita v libovolném následujúcim okamžiku t

$T = \text{poločas rozpadu}; n = \text{počet poločasů rozpadu}$

JEDNOTKY AKTIVITY RADIONUKLIDU:

současná jednotka (dle objevitele) **becquerel**

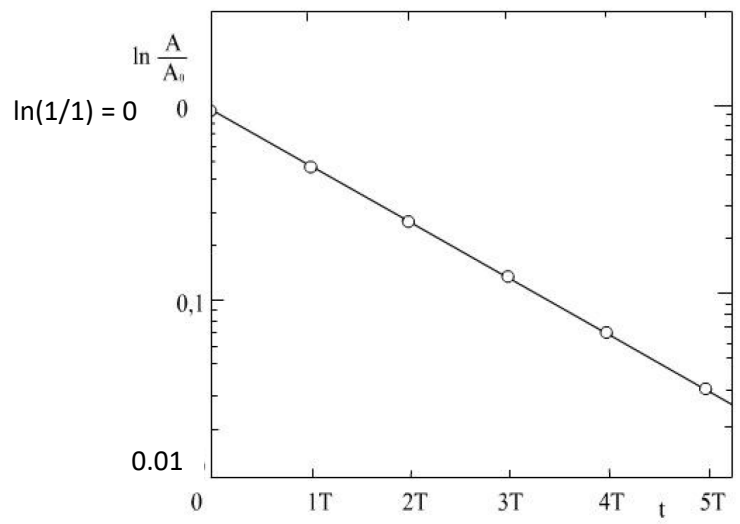
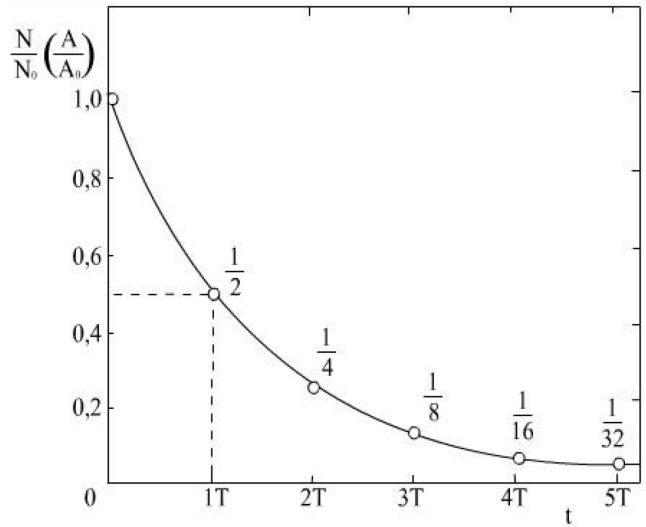
1 becquerel = 1 Bq = 1 rozpad za sekundu

starší jednotka (stále užívaná) **curie**

1 curie = 1 Ci = $3,7 \cdot 10^{10}$ Bq

Poznámka: Zároveň pomocí A můžeme vyjadřovať množství radionuklidu

$$N = N_0 e^{-\lambda t}$$



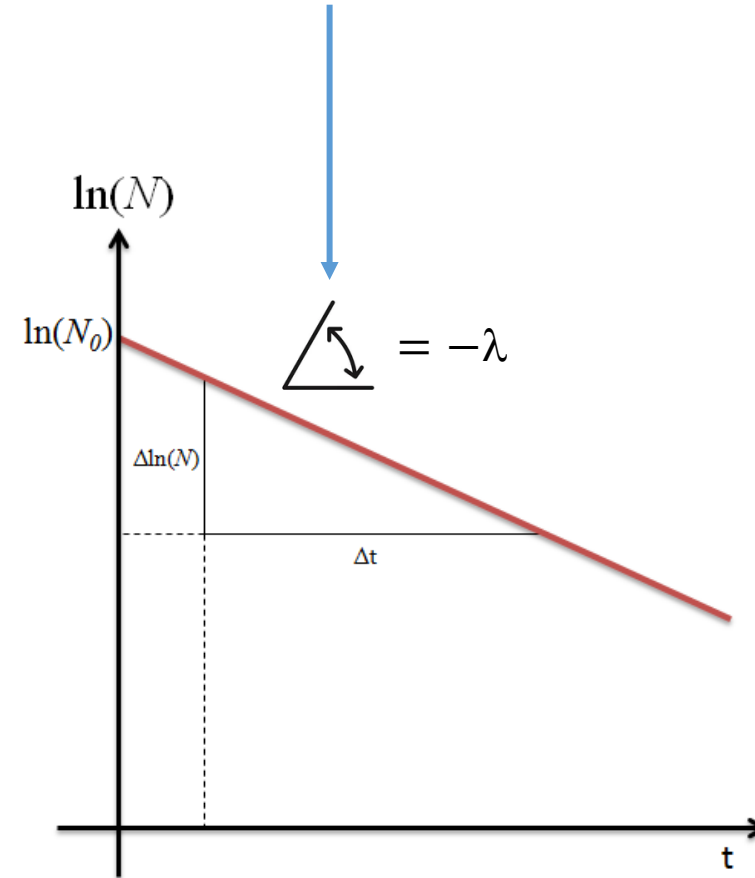
$$\frac{N}{N_0} = e^{-\lambda t}$$

$$\ln N - \ln N_0 = -\lambda t$$

$$\ln N = -\lambda t + \ln N_0$$

$$y = mx + b$$

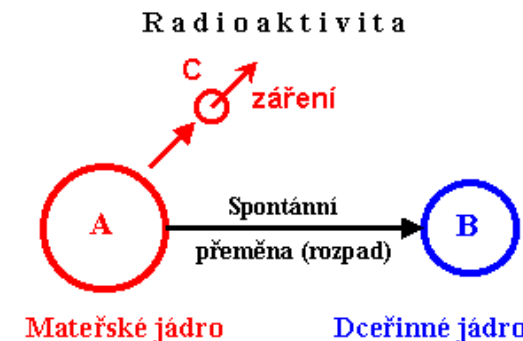
$$\ln \frac{N}{N_0} = \ln e^{-\lambda t}$$



PRŮBĚH RADIOAKTIVNÍ PŘEMĚNY

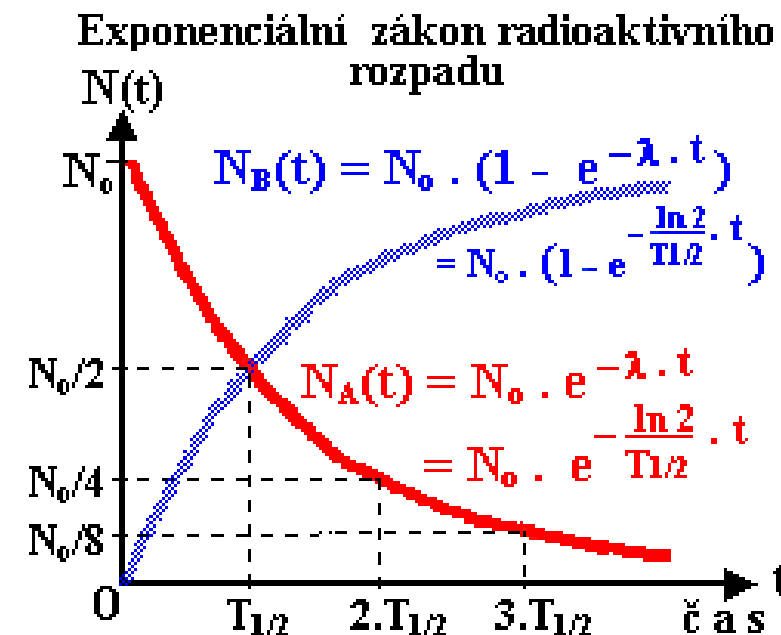
- exponenciální přeměnový zákon platí pro **všechny druhy záření**

$$N = N_0 e^{-\lambda t}$$



A) během dostatečně dlouhé doby se materinský prvek **přemění úplně** v prvek dceřinný (pokud ten není dále radioaktivní)

B) je-li **dceřinný prvek dále radioaktivní** (λ'), produkty radioaktivního rozpadu vytvářejí **radioaktivní přeměnové řady**



Měrná aktivita

Aktivita se často vztahuje na:

- hmotnostní jednotku (hmotnostní měrná aktivita)...Bq/kg
- objemovou jednotku (objemová měrná aktivita).....Bq/l
- látkové množství (molární měrná aktivita).....Bq/mol

$$a_{Ra} [\text{Bq/g}] \simeq 3,7 \times 10^{10} [\text{Bq/g}]$$

Tato hodnota měrné aktivity radia-226 je definována jako jednotka aktivity 1 [curie](#)

současná jednotka (dle objevitele) **becquerel**
1 becquerel = 1 Bq = 1 rozpad za sekundu

starší jednotka (stále užívaná) **curie**
1 curie = 1Ci = $3,7 \cdot 10^{10}$ Bq

Základní typy přeměn (8 typů + 3 procesy deexcitace)

| Typ přeměny | Reakce | Popis přeměny |
|-----------------------|--|---|
| Přeměna α | $_{\frac{A}{Z}}X \rightarrow _{\frac{A-4}{Z-2}}Y + _2^4He$ | Z jádra je emitována částice složená ze dvou protonů a dvou neutronů – částice α |
| Přeměna β^- | $_{\frac{A}{Z}}X \rightarrow _{\frac{A}{Z+1}}Y + _{-1}^0e + \bar{\nu}$ | Z jádra je emitována částice β^- a antineutrino. |
| Přeměna β^+ | $_{\frac{A}{Z}}X \rightarrow _{\frac{A}{Z-1}}Y + _{+1}^0e + \nu$ | Z jádra je emitována částice β^+ a neutrino. |
| Elektronový záchyt | $_{\frac{A}{Z}}X + _{-1}^0e \rightarrow _{\frac{A}{Z-1}}Y + \nu$ | Jádrem je zachycen orbitální elektron a z jádra je emitováno neutrino |
| Emise protonů | $_{\frac{A}{Z}}X \rightarrow _{\frac{A-1}{Z-1}}Y + _1^1p$ | Z jádra je emitován proton |
| Emise neutronů | $_{\frac{A}{Z}}X \rightarrow _{\frac{A-1}{Z}}Y + _0^1n$ | Z jádra je emitován neutron |

obdoba β^+

Základní typy přeměn (8 typů + 3 procesy deexcitace)

= obdoba
emise α

| Typ přeměny | Reakce | Popis přeměny | |
|------------------------|--|--|---|
| Samovolné štěpení | $^{A_Z}X \rightarrow ^{A_1}_{Z_1}Y + ^{A-A_1-x}_{Z-Z_1}Z + xn$ | Jádro se rozděluje na dva fragmenty a několik neutronů | + rozpady s emisí více částic (p^+ , ...) |
| Emise těžkých jader | $^{A_Z}X \rightarrow ^{A_1}_{Z_1}Y + ^{A-A_1}_{Z-Z_1}Z$ | Z jádra jsou emitovány těžké částice | |
| Přeměna γ | $^{A_Z}X^* \rightarrow ^{A_Z}X + \gamma$ | Excitované jádro okamžitě přechází do základního stavu emisí fotonů záření gama | Procesy deexcitace |
| Izomerický přechod | $^{A_m}_{Z}X \rightarrow ^{A_Z}X + \gamma$ | Excitované jádro v metastabilním stavu přechází do základního stavu emisí fotonů záření gama | jader po předchozím rozpadu |
| Vnitřní konverze | $^{A_Z}X^* \rightarrow ^{A_Z}X + e^-$ | Jádro v excitovaném stavu předává veškerou přebytečnou energii orbitálnímu elektronu | |

Skupiny radioaktivních přeměn:

1.měni se Z při konstantním A

- β^-
- β^+
- EZ = elektronový záchyt)

2.měni se Z i A

- α ,
- emise nukleonů
- emise těžších jader ^{14}C ,
 ^{24}Ne ,
- SŠ = samovolné štěpení

3.deexcitace jádra (A i Z konst.)

- γ emise okamžitá
- γ emise zpožděná (izomerický přechod),
- vnitřní konverze

8 základních přeměn

- Všechny jsou doprovázeny emisí elementárních částic, které jsou schopny ionizovat okolní látku

Částice (hmotné i nehmotné), které jsou uvolněny v jádře, označujeme:

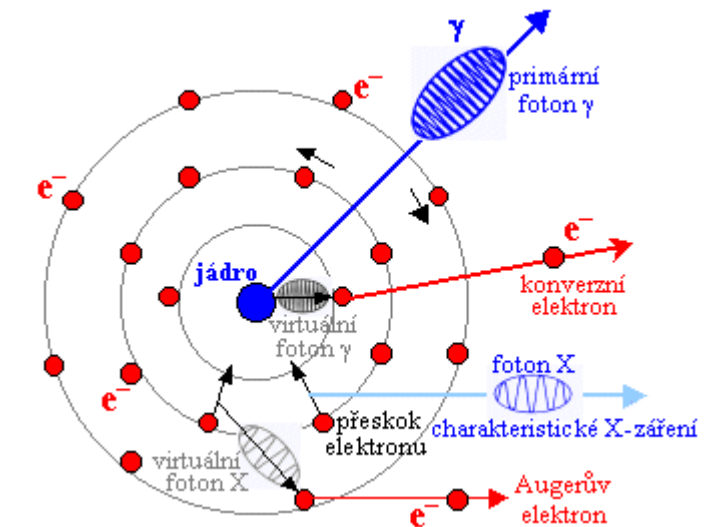
- částice α ,
- částice β (β^- , β^+),
- neutrony,
- fotony γ .

Vedle těchto častic vzniklých v jádře se z **elektronového obalu** uvolňují i elektrony, které podle mechanizmu vzniku označujeme:

- konverzní elektrony,
- Augerovy elektrony.

V elektronovém obalu dále vznikají i fotony elektromagnetického záření, které nazýváme:

- brzdné záření,
- charakteristické záření, viz přednáška 1 – RTG záření
- anihilační záření. (doprovází β^+)

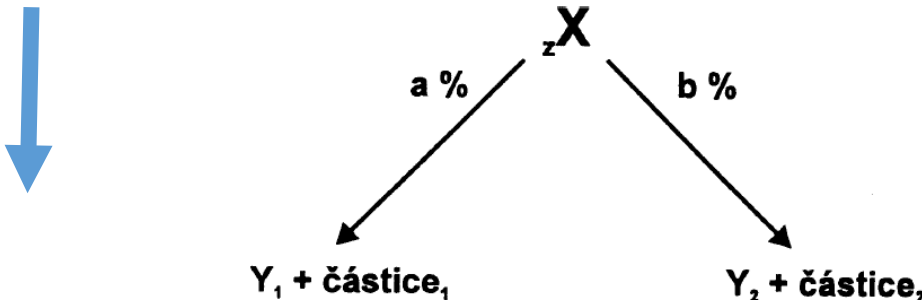


Větvené přeměny

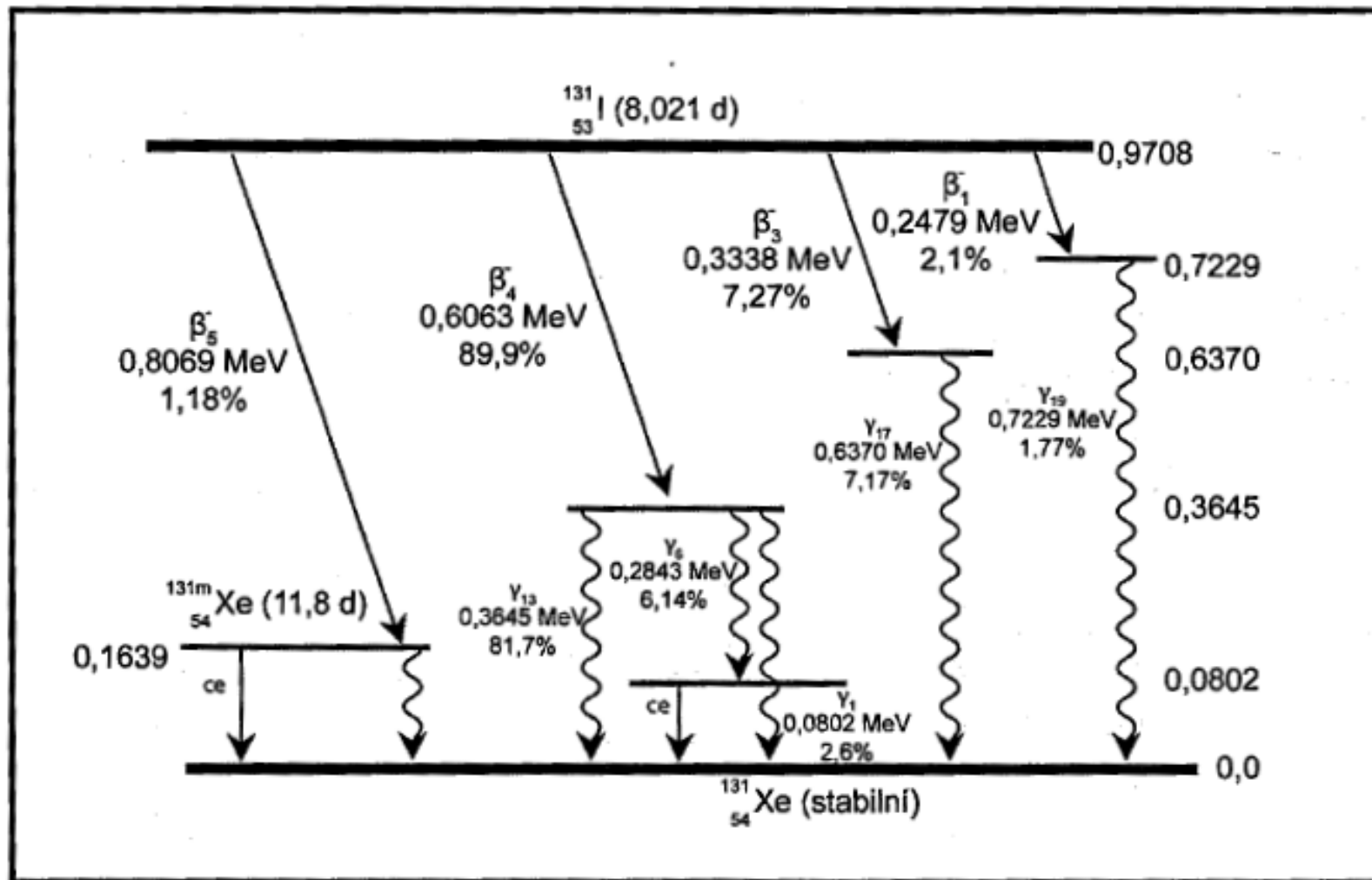
Vedle těchto jednoduchých přeměn s emisí jedné částice existuje celá řada složitějších přeměn s emisí několika částic. Např.

$$2\beta^+; \quad 2\beta^-; \quad \beta^-, d; \quad \beta^+, \alpha; \quad \beta^-, n; \quad e^- + \bar{\nu} + \alpha; \quad \dots$$

Jednotlivé radioaktivní přeměny, uvedené v tabulce 4.2, se u reálných přeměn vyskytují samostatně jen sporadicky. Většinou jsou doprovázeny alternativním druhem jaderné přeměny. Proto se u rozpadových schémat uvádějí pravděpodobnosti jejich výskytu. Na obr. 4.4 je znázorněno schéma rozpadu izotopu $^{131}_{53}I$. Najdeme zde několik přeměn β^- , γ , kde dochází na slupce K nebo L k vnitřní konverzi a je následně emitováno charakteristické záření. Z toho je vidět, že přeměny jednotlivých izotopů jsou složitým mechanizmem několika základních typů přeměn popsaných v předcházející části.



Větvené přeměny - Rozpadové diagramy



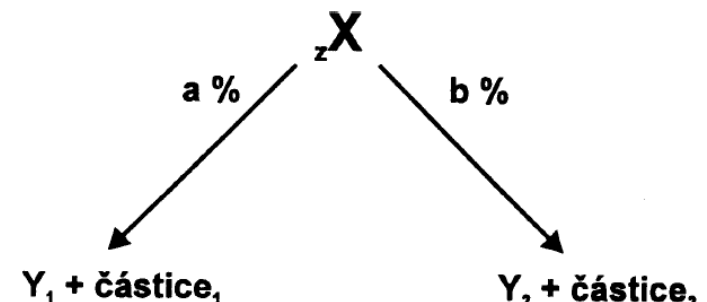
Obrázek 4.4 Rozpadové schéma ^{131}I

ce: conversion electron

Větvené přeměny

| α/β^- | u těžkých nuklidů |
|--|---|
| α/samovolné štěpení | u těžkých jader, přeměna je méně pravděpodobná jako přeměna α . Úbytek radionuklidu je řízen poločasem α přeměny – je kratší. |
| α/elektronový záchyt | u těžkých jader |
| β^+/elektronový záchyt | u lehčích radionuklidů s nadbytkem protonů |
| β^-/elektronový záchyt | vzácný případ |

- probíhají najednou v různém zastoupení
- hmotnostní podmínka přeměny umožňuje dva či více typů přeměny
- každá dílčí přeměna má svou pravděpodobnost a energii



ZASTOUPENÍ JEDNOTLIVÝCH TYPŮ RADIOAKTIVNÍCH PŘEMĚN

Tabulka 4.1 Zastoupení jednotlivých typů jaderných přeměn

| | Základní stav | Metastabilní stav | Σ |
|-----------------------|---------------|-------------------|----------|
| Stabilní jádra | 214 | 0 | 214 |
| alfa | 424 | 80 | 504 |
| beta- | 1174 | 131 | 1305 |
| ec/beta+ | 1044 | 214 | 1258 |
| IT | -- | 334 | 334 |
| n | 28 | -- | 28 |
| SF | 38 | 2 | 40 |
| p | 81 | 4 | 85 |
| CE | 112 | 4 | 116 |
| Celkem | 3115 | 769 | 3884 |

IT – vnitřní konverze, **ec** – elektronový záchyt, **SF** – spontánní štěpení, **CE** – emise těžkých jader (cluster emission)

ZÁKONY PLATNÉ PŘI RADIOAKTIVNÍCH PŘEMĚNÁCH

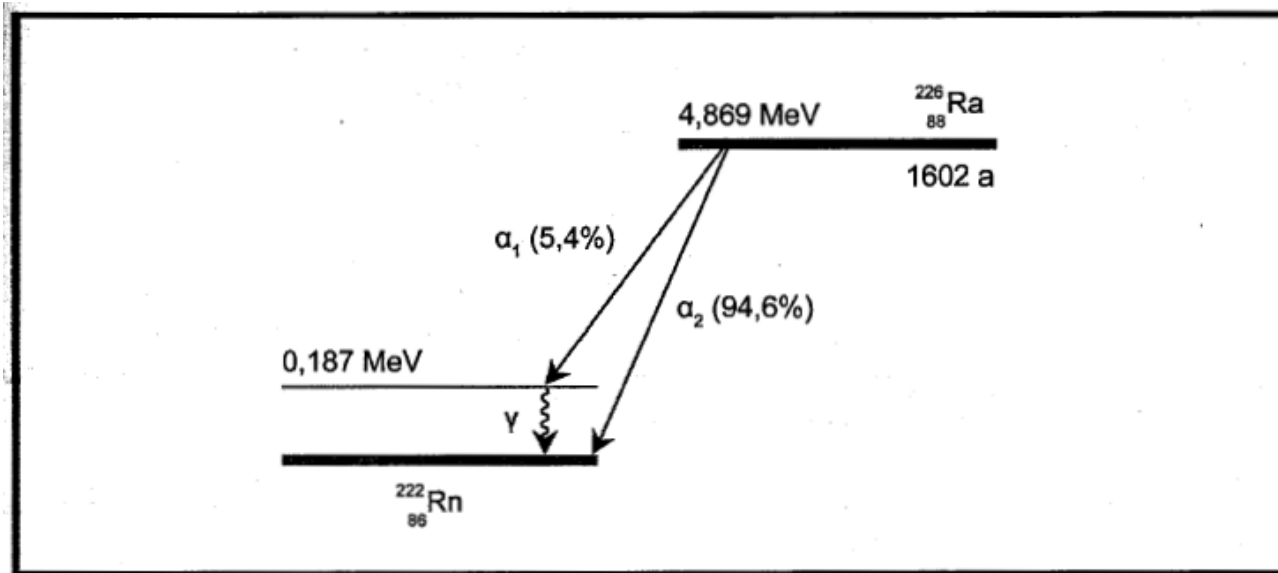
Zákony klasické fyziky

- ZZM, ZZE
- Zákon zachování hybnosti
- Zákon zachování elektrického náboje

Specifické zákony

- Zákon zachování nukleonového a protonového čísla: $A=A_1+A_2$; $Z=Z_1+Z_2$
- Zákon zachování baryonového čísla
- Zákon zachování leptonového čísla

ROZPAD α



Obrázek 4.7 Rozpadové schéma ^{226}Ra .

Pro energetický výtěžek α přeměny ΔE platí rovnice:

$$\Delta E = (M_X - M_Y - m_\alpha) \cdot c^2,$$

$$\Delta E \cong (M_X - M_Y - M_\alpha) \cdot c^2,$$

kde M_X je atomová hmotnost původního (mateřského) nuklidu X,
 M_Y je atomová hmotnost vzniklého (dceřiného) nuklidu Y,
 m_α hmotnost jádra ${}^4_2\text{He}$,
 M_α hmotnost atomu ${}^4_2\text{He}$.

VLASTNOSTI ZÁŘENÍ α :

- α -částice:
 - má relativně nízkou hmotnost
 - a dostatečně velkou vazebnou energii (stabilní částice)
- Její tvorba **je energeticky výhodnější** jako „samostatný“ **shluk nukleonů**
- Přímo ionizující záření
- „částicového“ charakteru

Dolet častic α :

= dráha, na které ztratí částice veškerou svou energii

- v plynech řádově centimetry
- v kapalinách a pevných látkách setiny milimetru

Spontánní α rozpad uranu



$$\Delta m c^2 =$$

$$(238,050\ 79 - 234,043\ 63 - 4,002\ 60) \text{u} c^2 =$$

$$0,004\ 56 \text{u} c^2 = \boxed{4,25 \text{ MeV}}$$

Spontánní rozpad nastává, poločas rozpadu je $4,47 \cdot 10^9$ let.



$$\Delta m c^2 =$$

$$(238,050\ 79 - 237,051\ 21 - 1,007\ 83) \text{u} c^2 =$$

$$-0,008\ 25 \text{u} c^2 = \boxed{-7,68 \text{ MeV}}$$

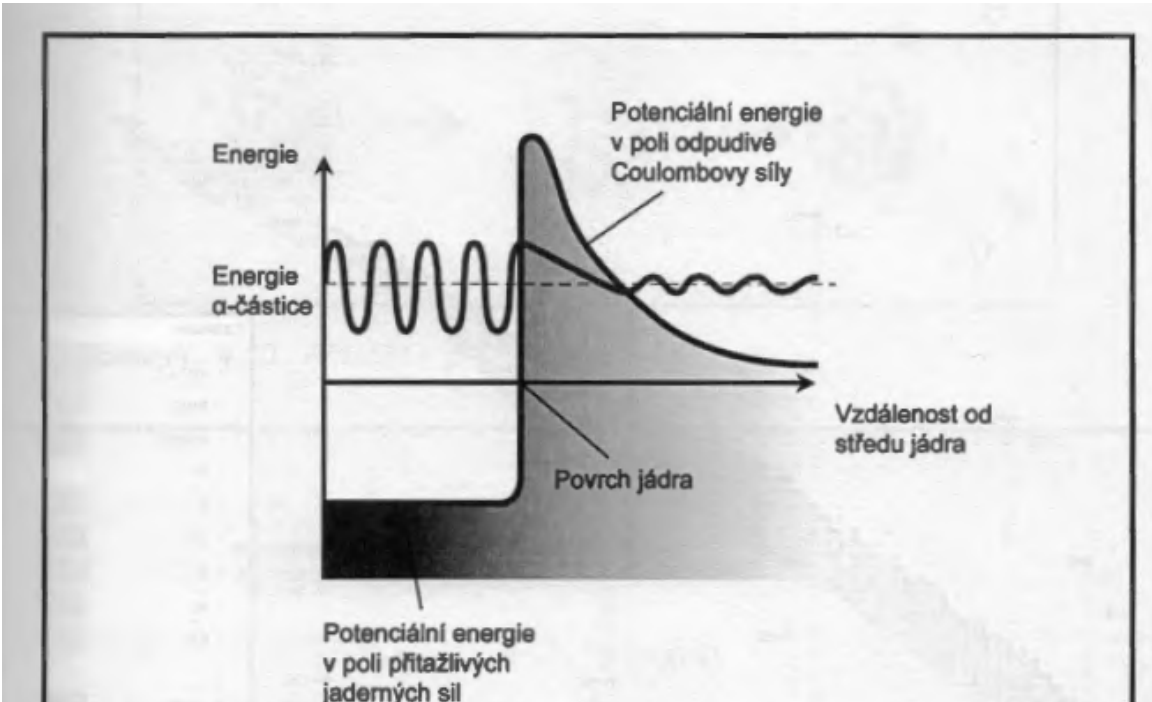
Spontánní rozpad nemůže nastat.

Hmotnostní přebytek nuklidu

$$\frac{\Delta}{u} = \left(\frac{m}{u} - A \right)$$

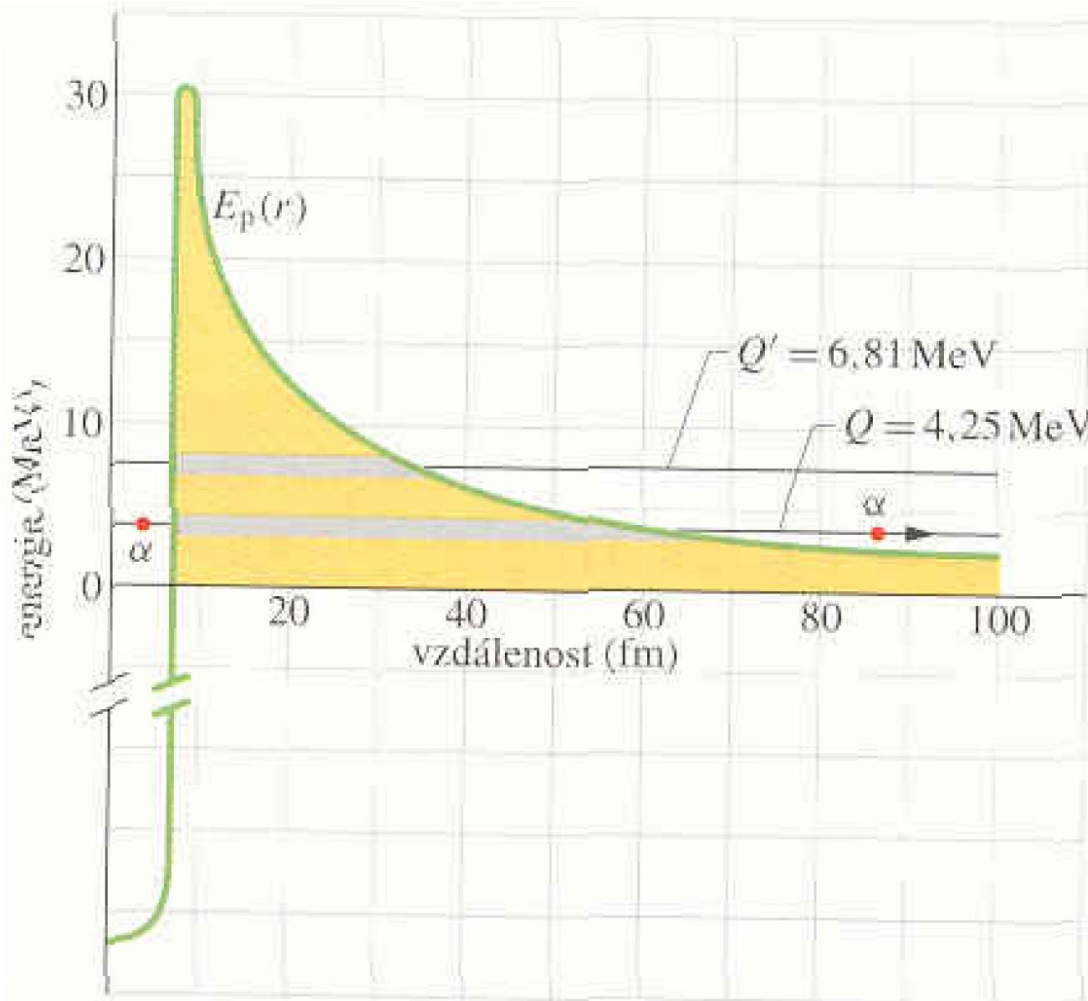
| | Z | A | Δ/u |
|------------------|---|---|------------|
| proton | 1 | 1 | 0,007 276 |
| neutron | 0 | 1 | 0,008 665 |
| deuteron | 1 | 2 | 0,013 553 |
| triton | 1 | 3 | 0,015 501 |
| helion | 2 | 3 | 0,014 932 |
| α částice | 2 | 4 | 0,001 506 |

Tunelový efekt – α -částice



Obrázek 4.8 Průchod částice α potenciální bariérou

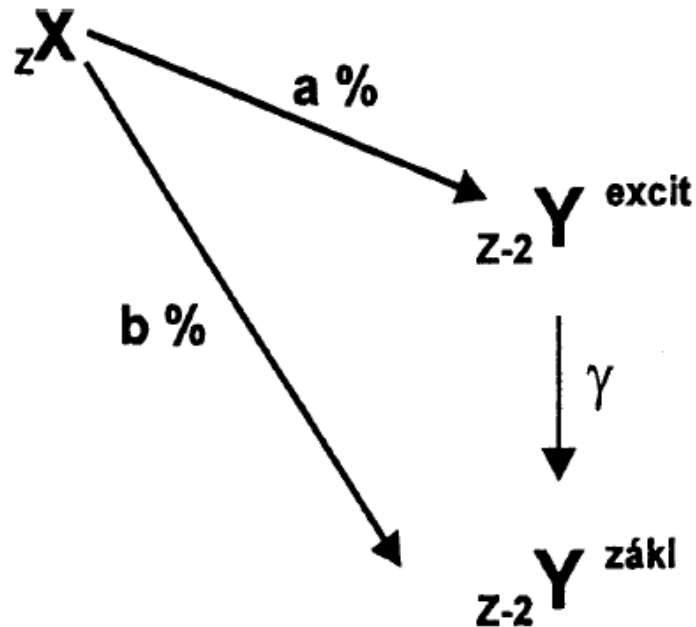




| Radionuklid | Q | Poločas rozpadu |
|------------------|----------|-----------------------|
| ^{238}U | 4,25 MeV | $4,5 \cdot 10^9$ roku |
| ^{228}U | 6,81 MeV | 9,1 min |

- Potenciální energie při emisi α - částice jádrem ^{238}U
 $Q = 4,25 \text{ MeV}$
- (ukazuje energii rozpadu)
- Tlustá šedá část této přímky ukazuje vzdálenosti r , které jsou pro α -částici klasicky zakázané.
- Částice α je znázorněna jako bod, jak uvnitř potenciálové jámy (nalevo), tak vně (napravo) poté, co protunelovala.
- Potenciální energie při emisi α - částice jádrem ^{228}U
 $Q = 6,81 \text{ MeV}$ (zhruba o 60% vyšší než ^{238}U)
- Oba izotopy mají stejnou křivku potenciální energie, protože mají stejný náboj jádra.
- Poněvadž poločas rozpadu ^{238}U je velmi dlouhý nemůže být potenciálová bariéra příliš „prostupná“.
- Částice α , která poskakuje sem a tam uvnitř jádra, musí narazit na vnitřní stěnu bariéry zhruba **10³⁸ krát**, než se jí podaří uniknout tunelováním.
- Toto číslo odpovídá **10²¹ nárazům za sekundu po dobu 4 . 10⁹ let**. My ovšem čekáme na vnější straně a můžeme zaznamenat jen ty α -částice, kterým se *podařilo* uniknout.

Přeměna α může probíhat za vzniku dceřiného jádra **v základním (a)** nebo **vzbuzeném stavu (b)**

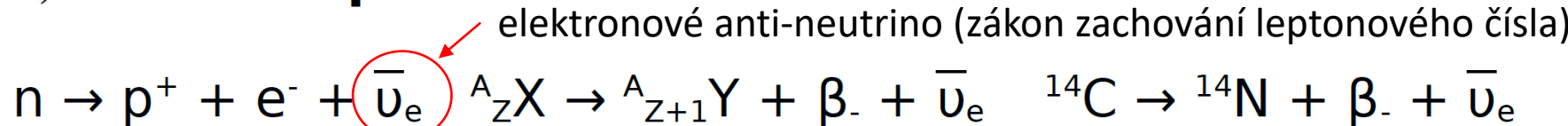


| nuklid X | nuklid Y | a (%) | b (%) | E_α (MeV) | E_γ (MeV) |
|-------------------|-------------------|-------|-------|---------------------|---------------------|
| ^{210}Po | ^{206}Pb | ~100 | 0,001 | a: 5,30 b: 4,50 | 0,8 |
| ^{226}Ra | ^{222}Rn | 94,3 | 5,7 | a: 4,77 b: 4,59 | 0,18 |
| ^{232}Th | ^{228}Ra | 80 | 20 | a: 3,98 b: 3,90 | 0,08 |
| ^{238}U | ^{234}Th | 77 | 23 | a: 4,24 b: 4,19 | 0,05 |

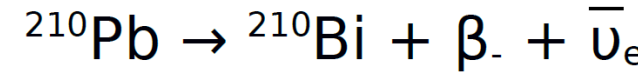
Často se pozoruje emise více skupin α částic \Rightarrow musí existovat více excitovaných stavů dceřiných jader.

Druhy radioaktivních přeměn: ZÁŘENÍ β - (negatronová přeměna)

A) Přeměna β . Hmotnostní podmínka: $M(A, Z) > M(A, Z+1) + m_e$

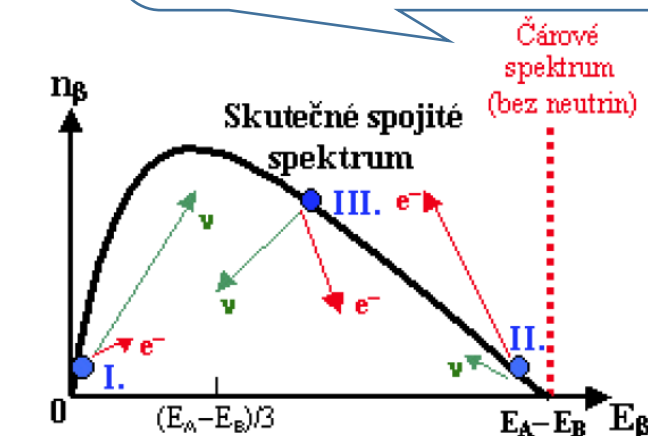
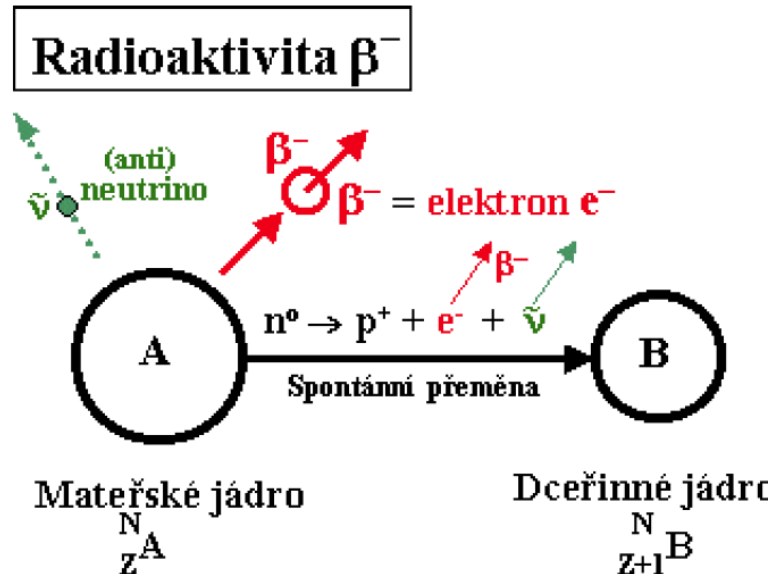
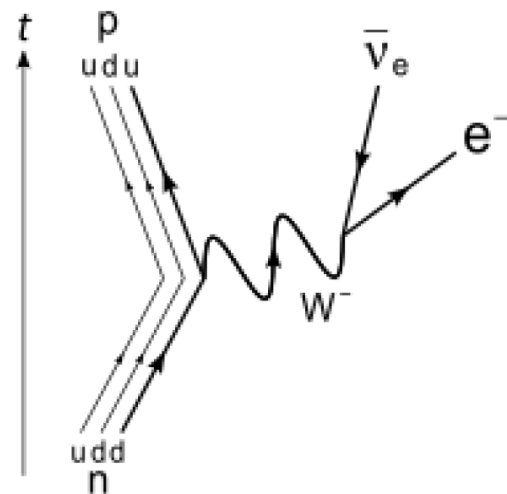


měříme



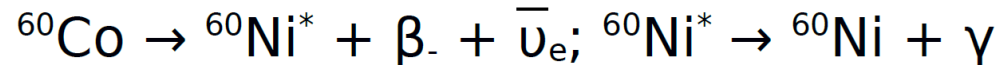
Energie se rozdělí mezi jádro (málo), elektron a ν_e náhodně, spektrum je proto spojité.

Maximální energie beta záření je pro danou přeměnu charakteristická a slouží k identifikaci přeměňujícího se radionuklidu.



Jádro Y vzniká: (po rozpadu β -)

- a) v základním stavu 3H , ${}^{14}C$, ${}^{32}P$, ${}^{35}S$
- b) v excitovaném stavu (poté dochází k emisi 1 či více γ)



Může vznikat i směs a) a b)

ZÁŘENÍ γ

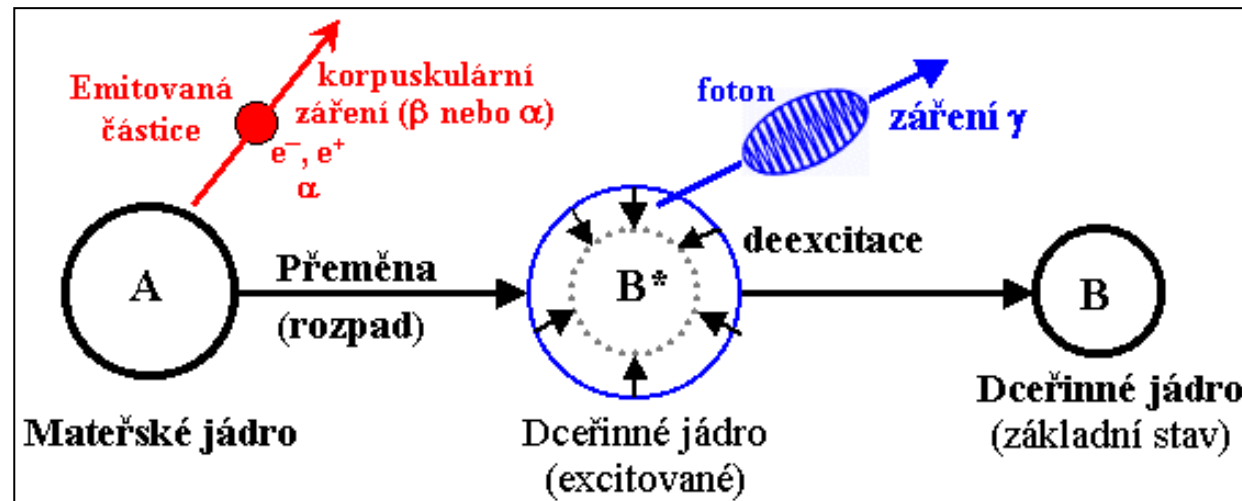
➤ elektromagnetické záření

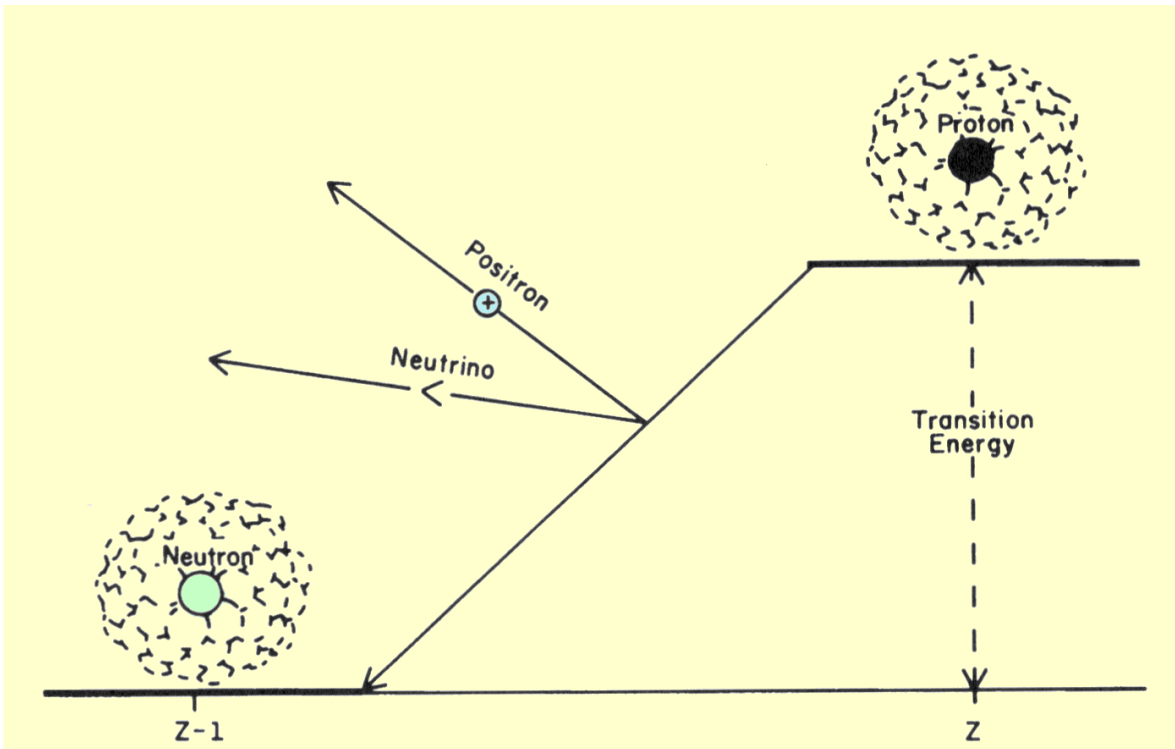
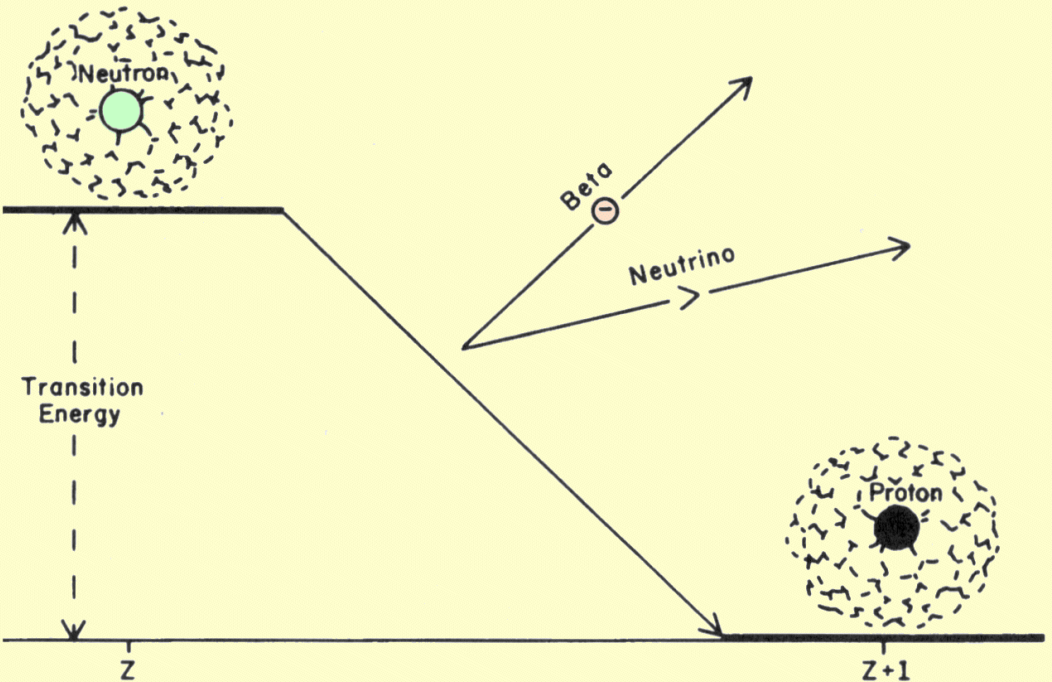
o velmi krátkých
vlnových délkách, řádově $10^{-11} - 10^{-13}$ m

➤ vzniká v jádrech některých radioaktivních prvků

➤ zpravidla doprovází záření α i záření β

➤ některé prvky vysílají monofrekvenční záření jediné vlnové délky, jiné prvky (Bi, Th, Ac) vysílají celé spektrum záření γ složené z jednotlivých čar.

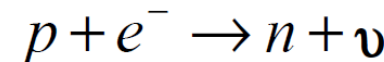




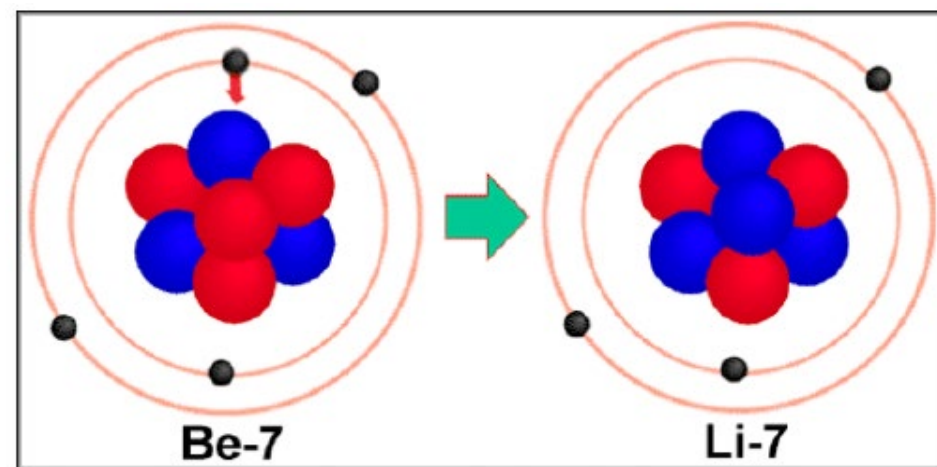
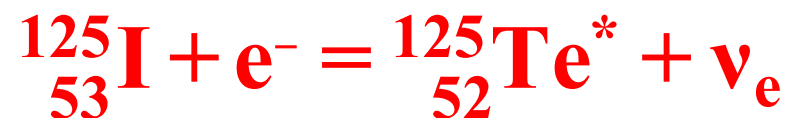
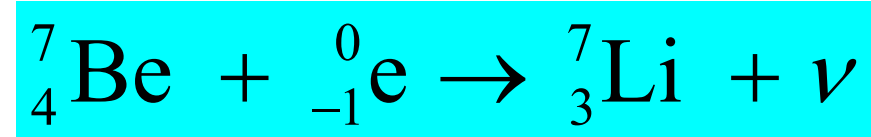
ELEKTRONOVÝ ZÁCHYT (K - ZÁCHYT)

K – zachycení

Ekvivalentní k emisi pozitronu z hlediska přeměny jádra je tzv. k- zachycení. Označuje se tak případ, kdy jádro pohltí jeden elektron z vnitřních slupek svého obalu (nejčastěji z K-slupek, z čehož plyne název jevu). Proton jádra se spojí se zachyceným elektronem a přemění se v neutron. Přeměnu doprovází emise neutrina. Rovnice přeměny je:



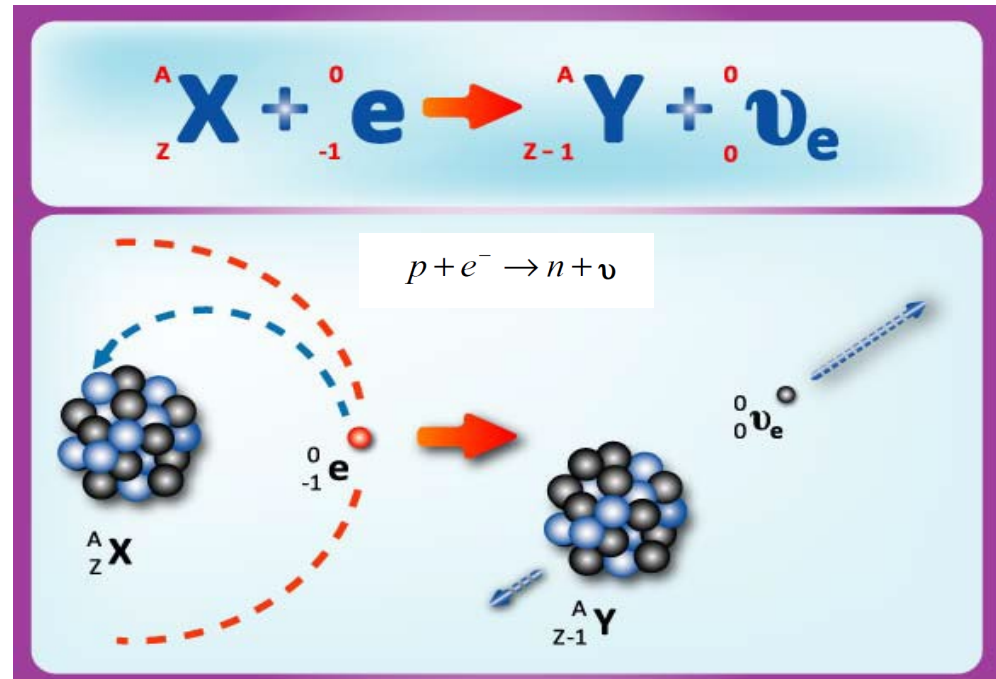
počet nukleonů se nezmění, avšak náboj jádra se sníží o jeden, jádro typu ${}_Z^A X$ se přemění na jádro ${}_{Z-1}^A Y$, což odpovídá posunutí v Mendělejevově tabulce prvků o jedno místo vlevo. K-zachycení je tedy ekvivalentní záření β^+ .



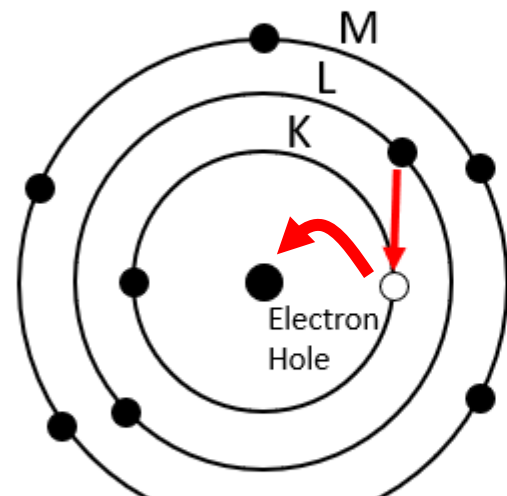
ELEKTRONOVÝ ZÁCHYT (K - ZÁCHYT)

- při porušení stability jádra (obsahuje-li o jeden proton více)
- jádro absorbuje nejbližší elektron (z vnitřní slupky K)
- e^- „se sloučí“ s p^+ v jádře a p^+ se přemění na n^0 za **emise neutrina**
- na prázdné místo K – orbitu přejde **elektron z vyšší hladiny**
- dojde k **vyzáření energie (fotonu)**
- *nezmění se hmotnostní číslo, změní se protonové číslo prvku*
- Elektronový záchyt je jediným druhem radioaktivní přeměny jádra, na kterém **se podílí i elektronový obal atomu**
- Z toho plyne i určitá **možnost porušení dogmatu o neovlivnitelnosti $T_{1/2}$** – chemický stav atomu zde $T_{1/2}$ nepatrně mění

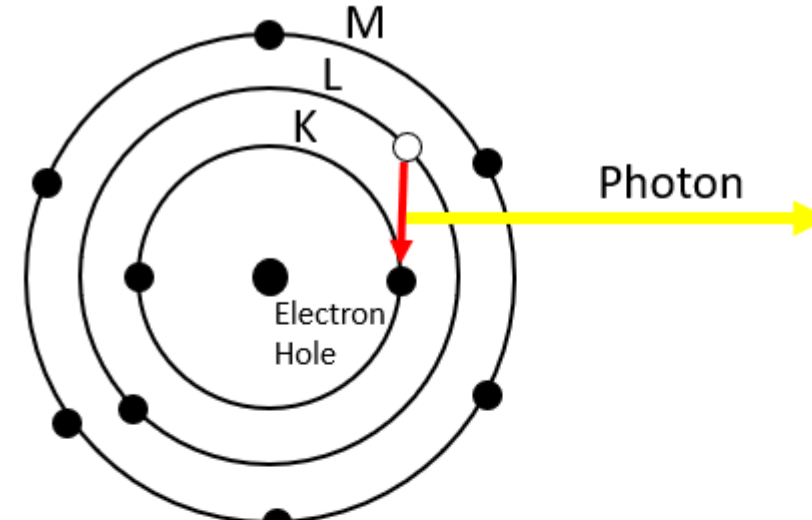
$$M(A, Z) + m_e > M(A, Z-1)$$



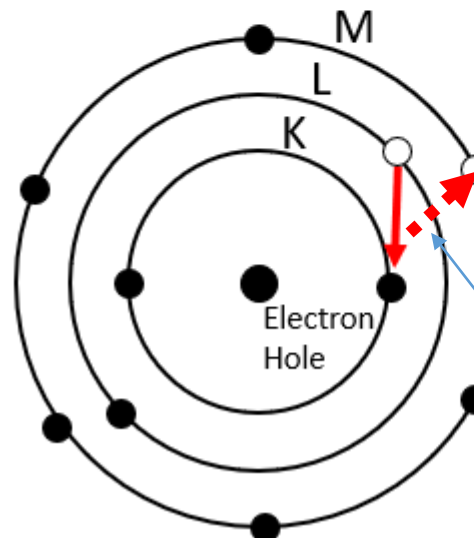
ELEKTRONOVÝ ZÁCHYT (K - ZÁCHYT)



X-ray
Fluorescence



Auger Electron
Emission

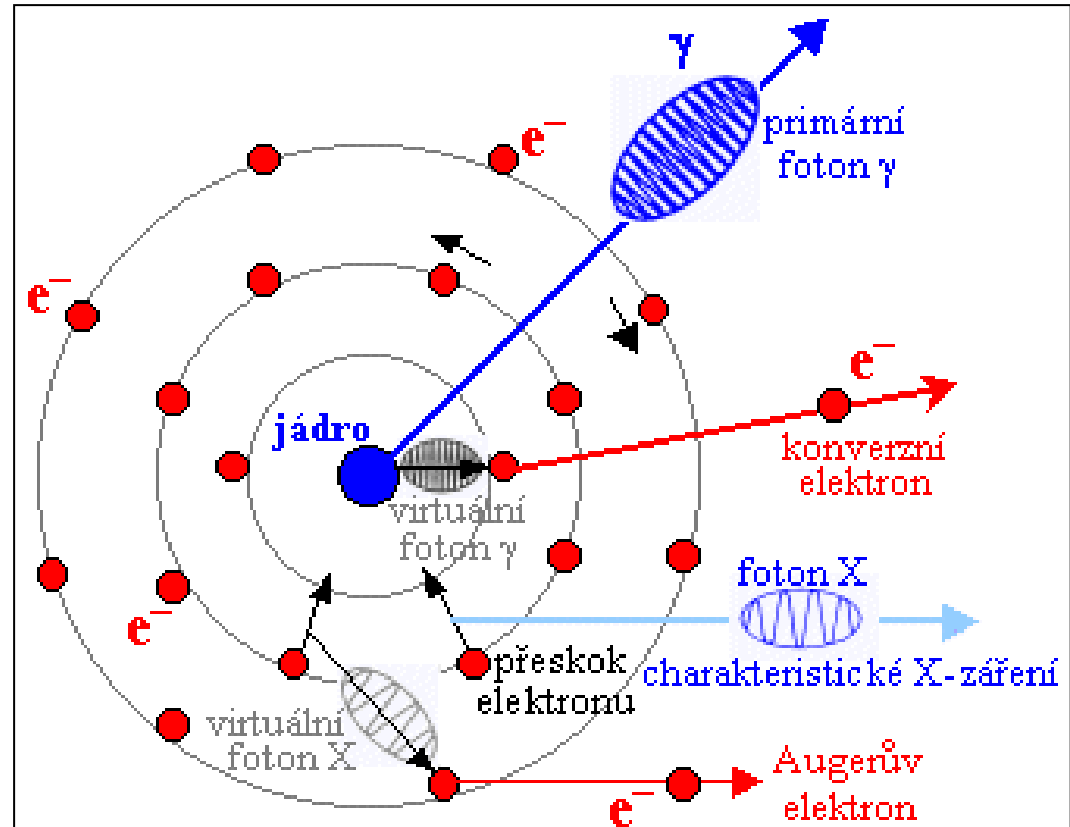


Auger Electron

Will be detected
by electron analyzer!

Přenos energie přes
vyzářený virtuální
foton

Při EZ pozorujeme současně vznik:
charakteristického rentgenova záření
a **Augerových elektronů** (vznikají při průchodu
rtg záření vyššími elektronovými slupkami
⇒ **mají diskrétní energii**).



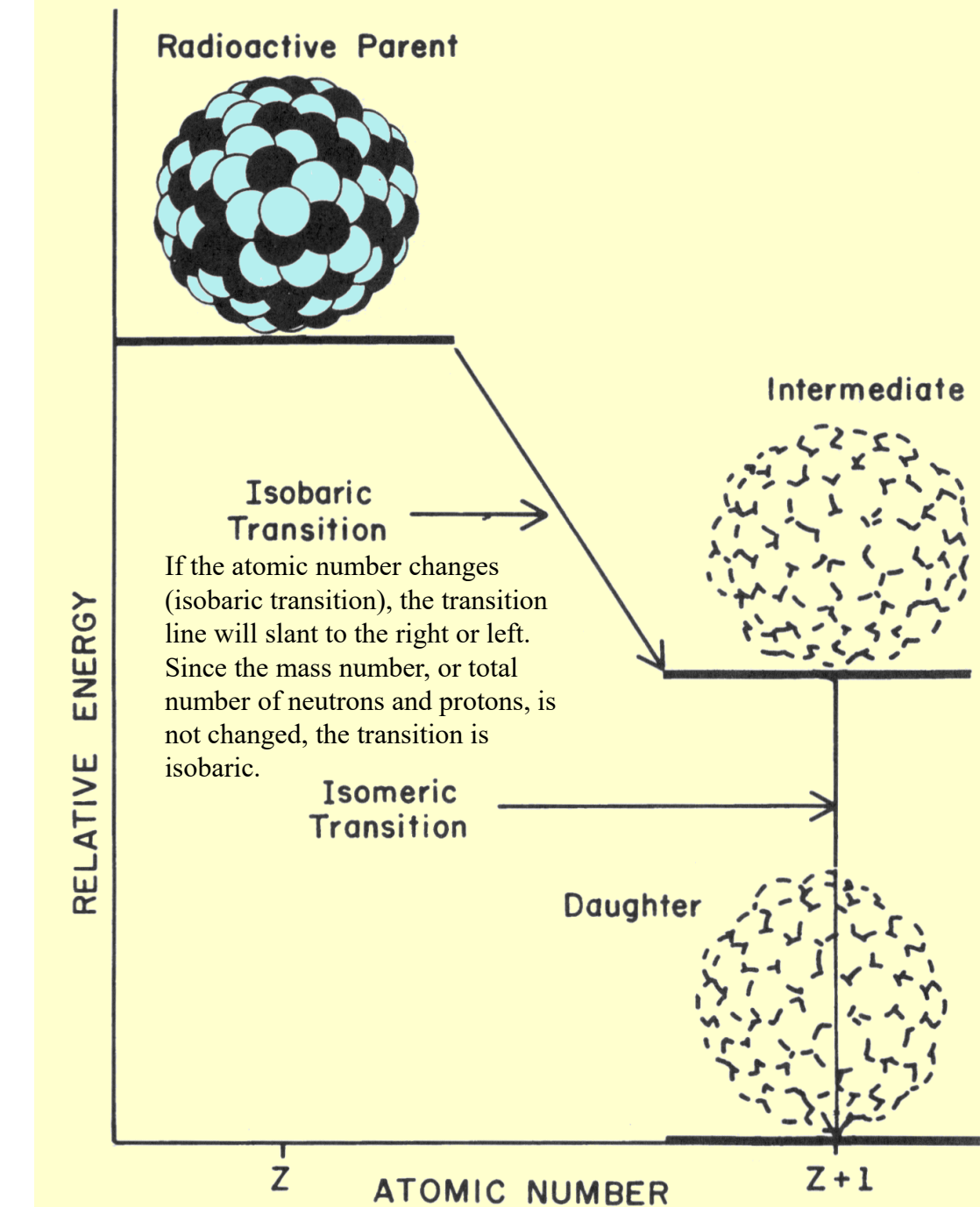
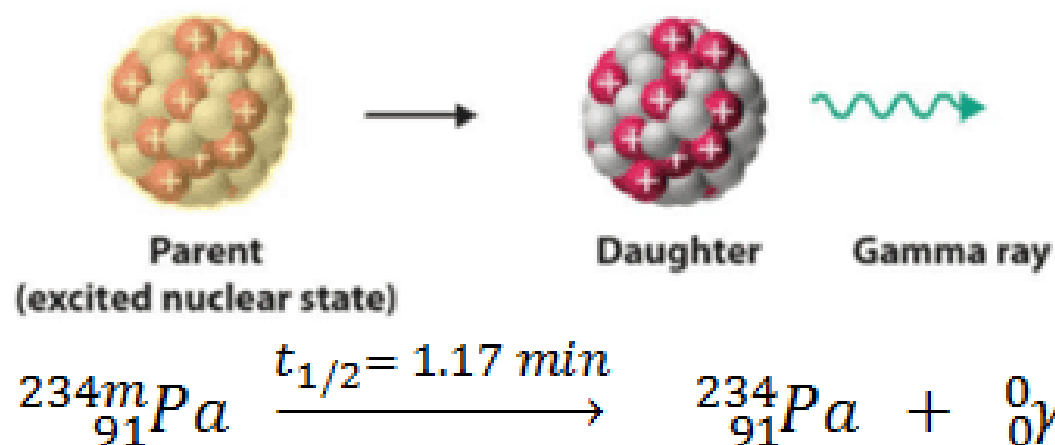
VNITŘNÍ KONVERZE

- je alternativním způsobem deexcitace jádra (nezářivý přenos energie na orbitální elektron)
- proces je umožněn překryvem vlnových funkcí orbitálního elektronu a excitovaného jádra
uvolňuj se tzv. **konvertovaný elektron** (má diskrétní energii)

- po uvolnění **konvertovaného elektronu** se vakance v elektronovém orbitalu zaplňuje elektronem z vyšší hladiny a dochází ke **vzniku charakteristického rtg. záření**, příp. i **Augerova elektronu** (jako u EZ)
- **Konverzní koeficient** = je relativní pravděpodobnost vnitřní konverze vůči rozpadu, roste s $E\gamma$ (energie záření γ) a se Z jádra.

IZOMERNÍ PŘECHOD

- jádro přechází ze stavu o **vyšší energii na nižší úroveň**
- přebytek energie je vyzářen v podobě **záření γ**
- **hmotnost ani protonové číslo se nemění**



Další typy přechodů

obecně

Prvek uvolní energii nabuzeného stavu **emisí vnitřního elektronu**

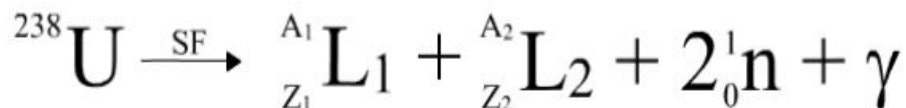
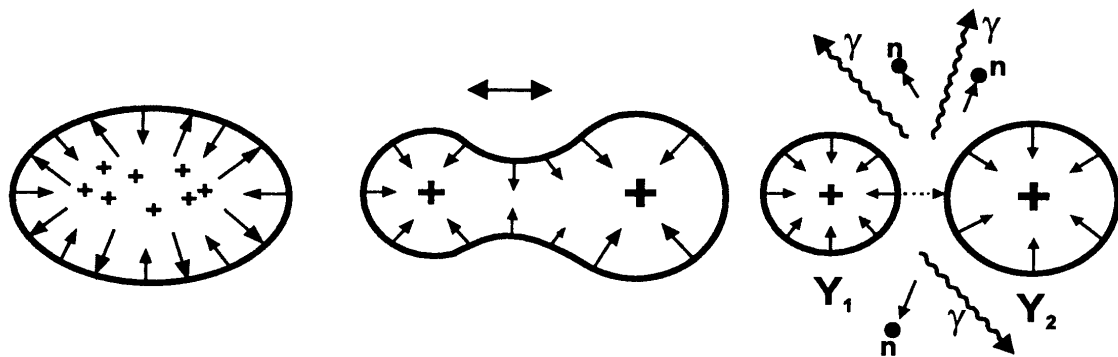


Vnitřní konverze

Tellur z nabuzeného stavu přejde do jedenkrát ionizovaného stavu při emisi elektronu



SAMOVOLNÉ ŠTĚPENÍ



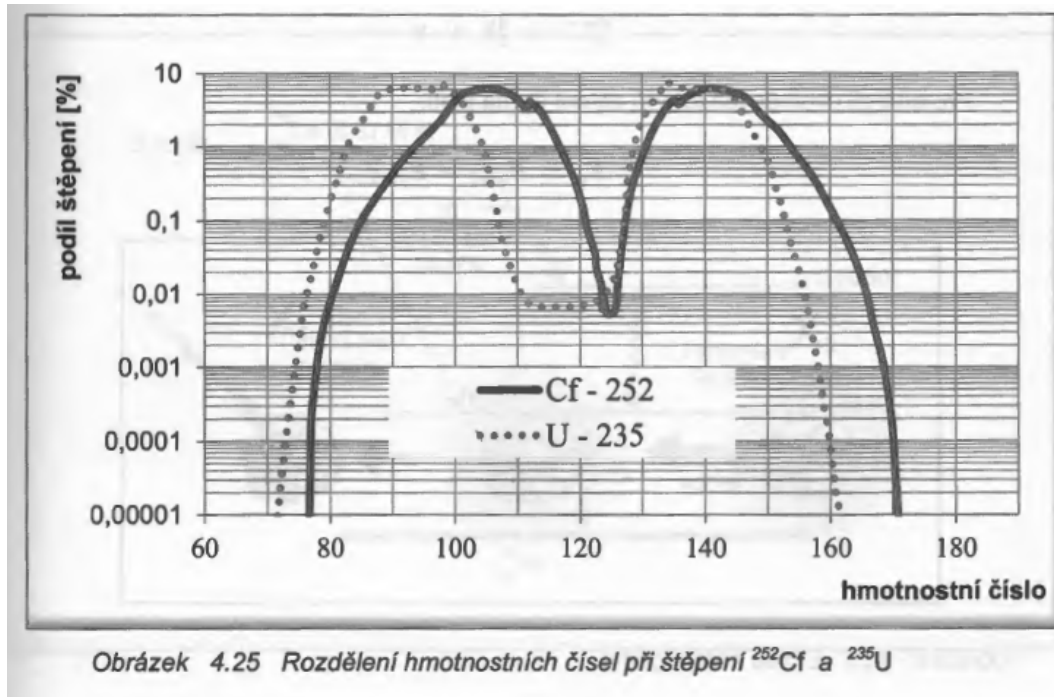
X je samovolně se rozpadající jádro,
 Y, Z jsou dvě těžká jádra,
 xn je x uvolněných neutronů,
 ΔE je uvolněná energie.

SF (Spontaneous Fission) se vyskytuje u jader:

- s vysokým počtem protonů
- s elipsoidním tvarem jádra
- musí platit hmotnostní podmínka
- vznikají přitom **2 tzv. trosky a zpravidla 2-3 neutryny**
- jde zpravidla o konkurenční reakci k procesu α



SAMOVOLNÉ ŠTĚPENÍ

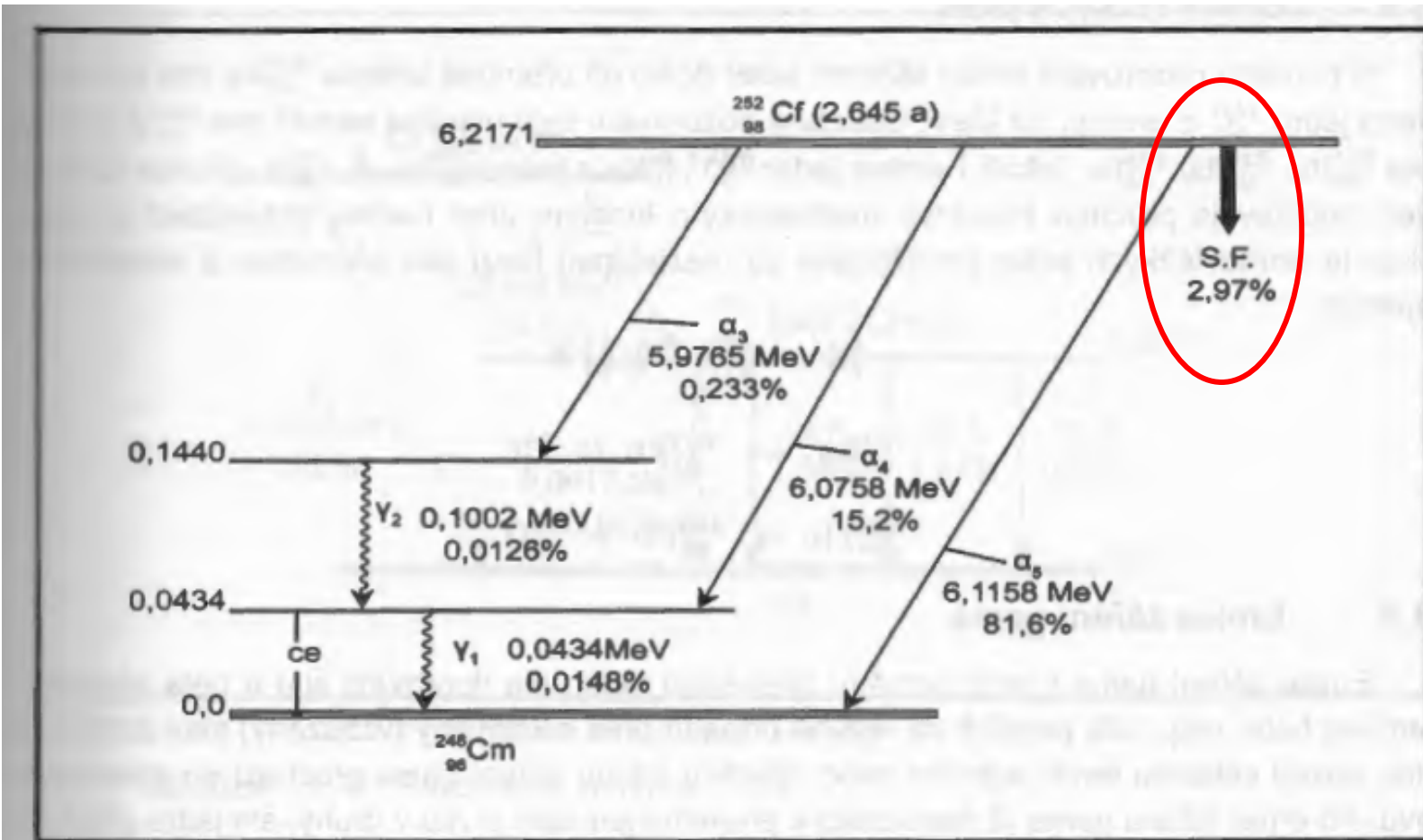


- Zavádí se tzv. **parametr štěpení Z^2/A**
- vychází z kapkového modelu jádra – jde o poměr energie odpuzování a energie povrchové

S rostoucím parametrem štěpení klesá poločas rozpadu samovolného štěpení nuklidu:

| nuklid | Z^2/A | poločas (roků) |
|-------------------------|---------|---------------------|
| $^{238}_{92}\text{U}$ | 35,56 | $1,0 \cdot 10^{16}$ |
| $^{240}_{94}\text{Pu}$ | 36,82 | $1,2 \cdot 10^{11}$ |
| $^{244}_{96}\text{Cm}$ | 37,77 | $1,4 \cdot 10^7$ |
| $^{252}_{98}\text{Cf}$ | 38,11 | 66 |
| $^{254}_{100}\text{Fm}$ | 39,37 | 0,67 |

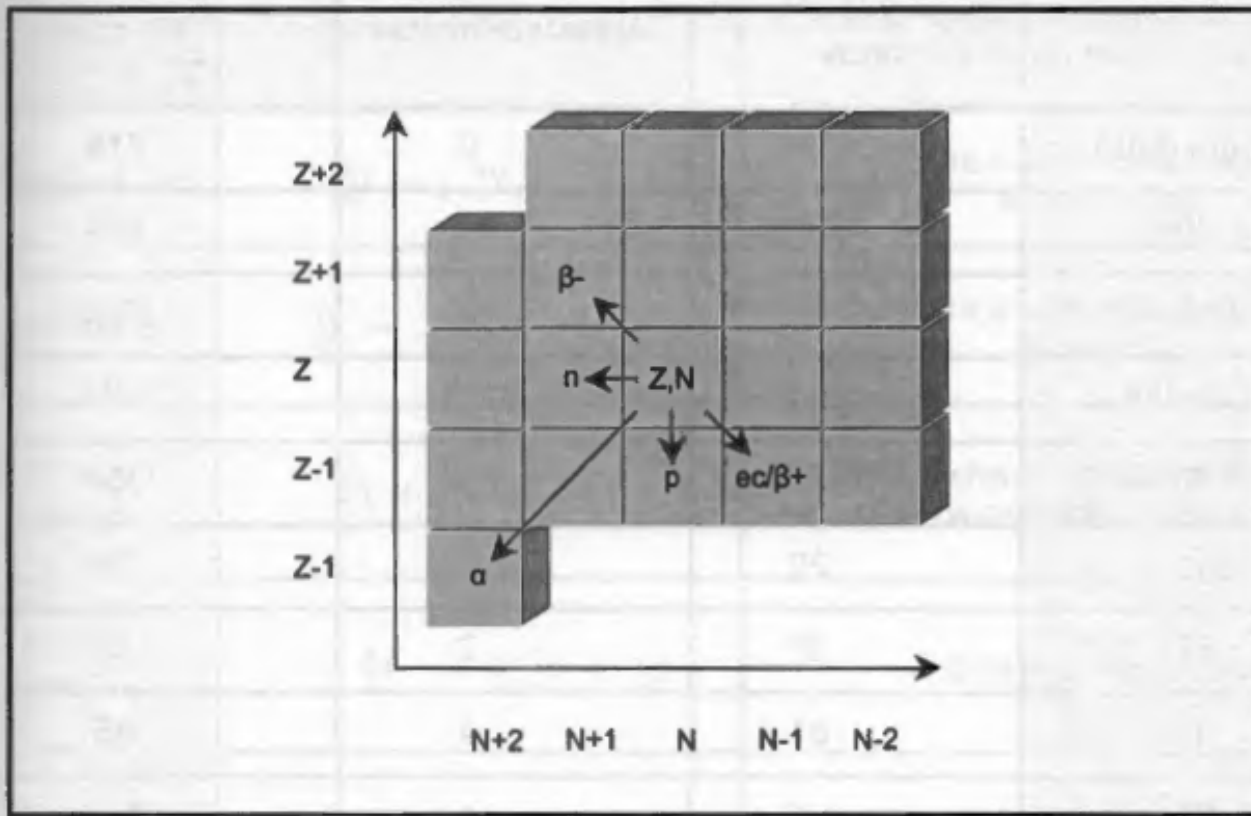
SAMOVOLNÉ ŠTĚPENÍ



Obrázek 4.24 Rozpadové schéma ^{252}Cf

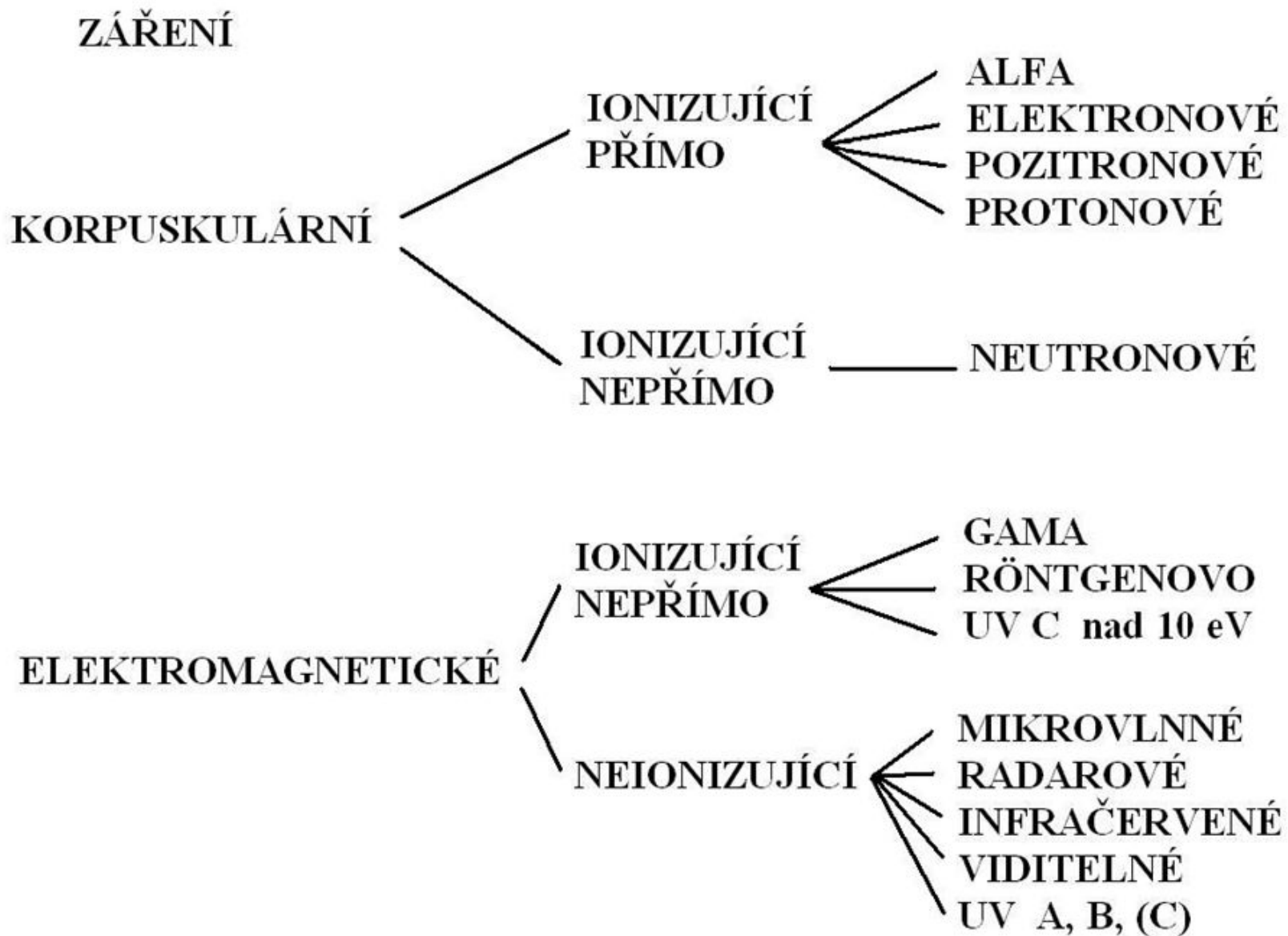
Fajans-Soddyho posunová pravidla

V současné době rozlišujeme osm základních radioaktivních přeměn, při kterých dojde ke změně protonového nebo nukleonového čísla.



Obrázek 4.3 Základní radioaktivní přeměny

TYPY IONIZUJÍCÍHO ZÁŘENÍ A JEHO INTERAKCE



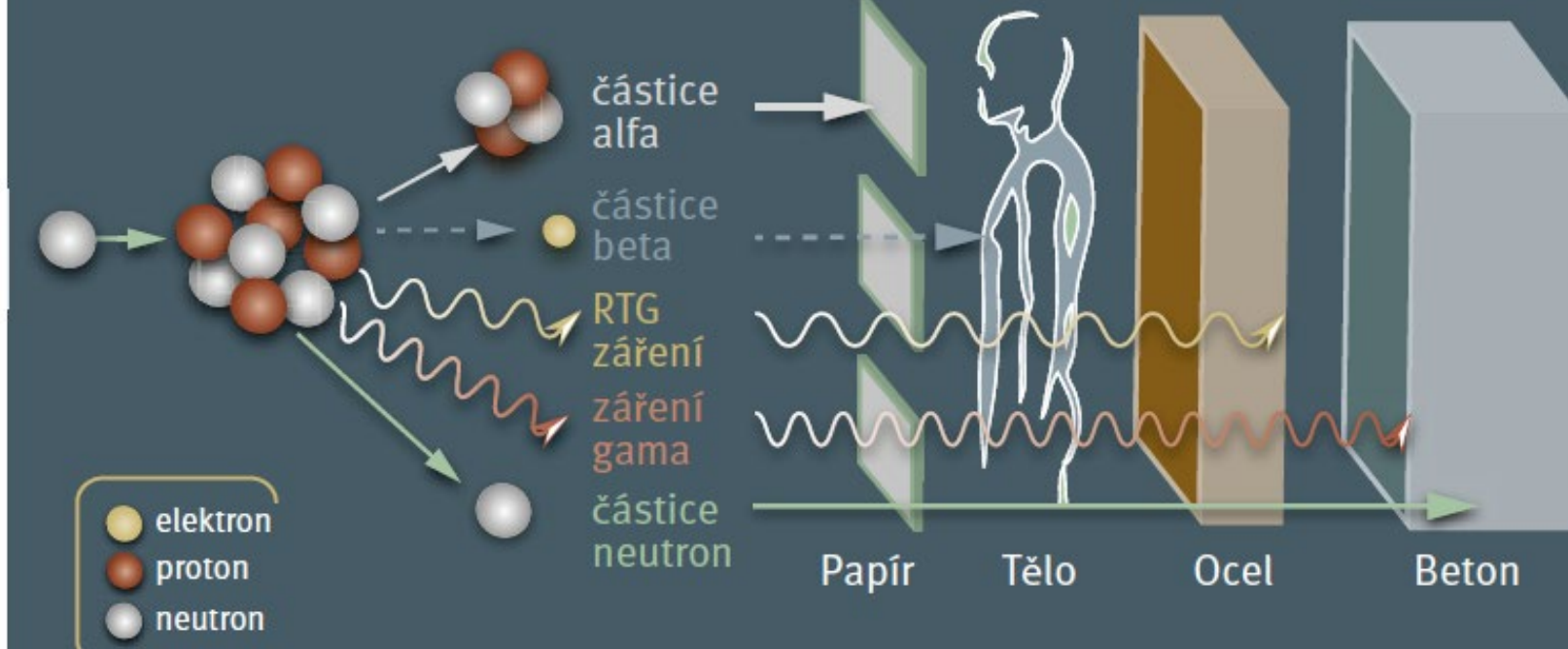
Interakce ionizujícího záření s hmotou a biologickými systémy

vysvětlení základních procesů v neživé a živé hmotě,
které jsou vyvolány interakcí s ionizujícím zářením (IZ)



PRONIKAVOST IZ

Pronikavost různých typů záření



ROZDÍLNÉ VLASTNOSTI ZÁŘENÍ VZTAHU K LET – KLIDOVÁ HMOTNOST A NÁBOJ

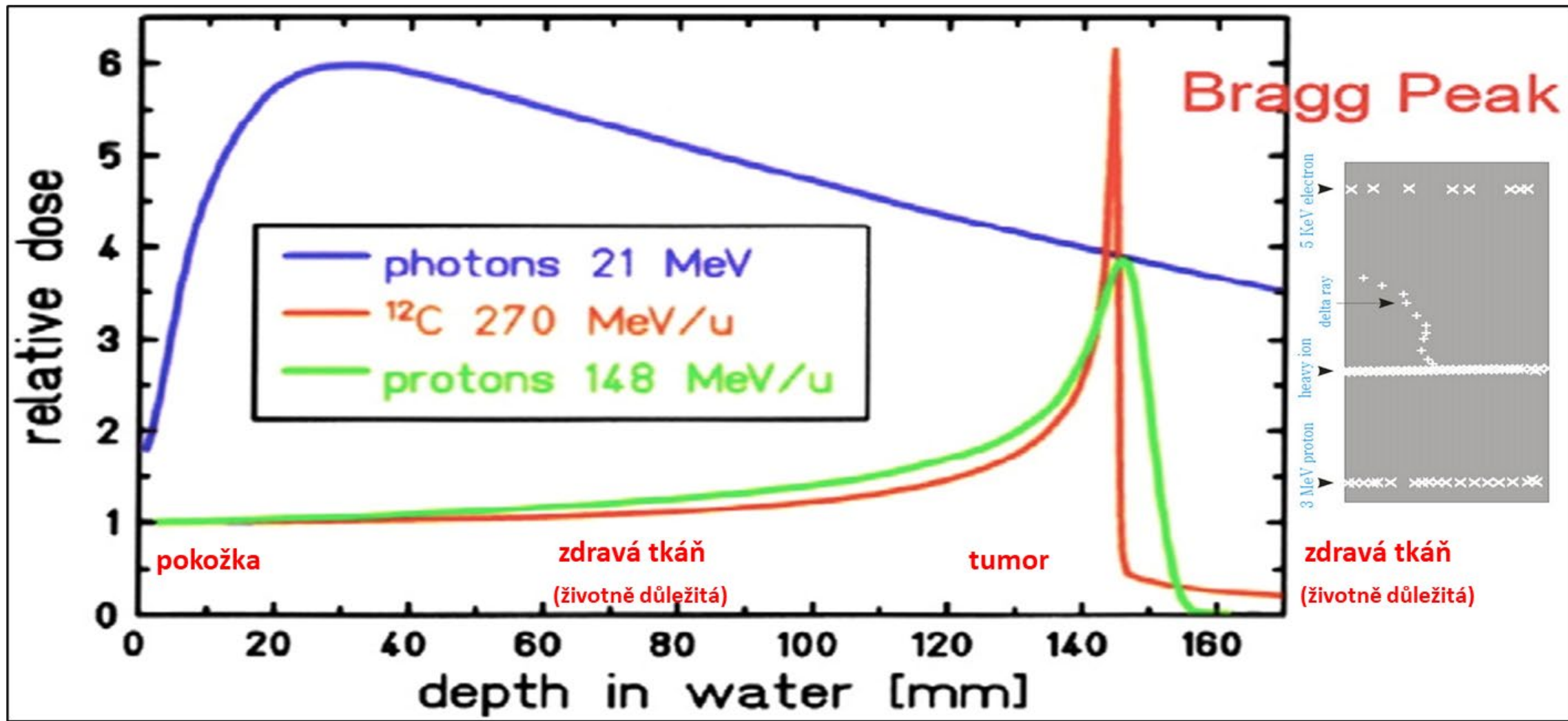
fotonové záření

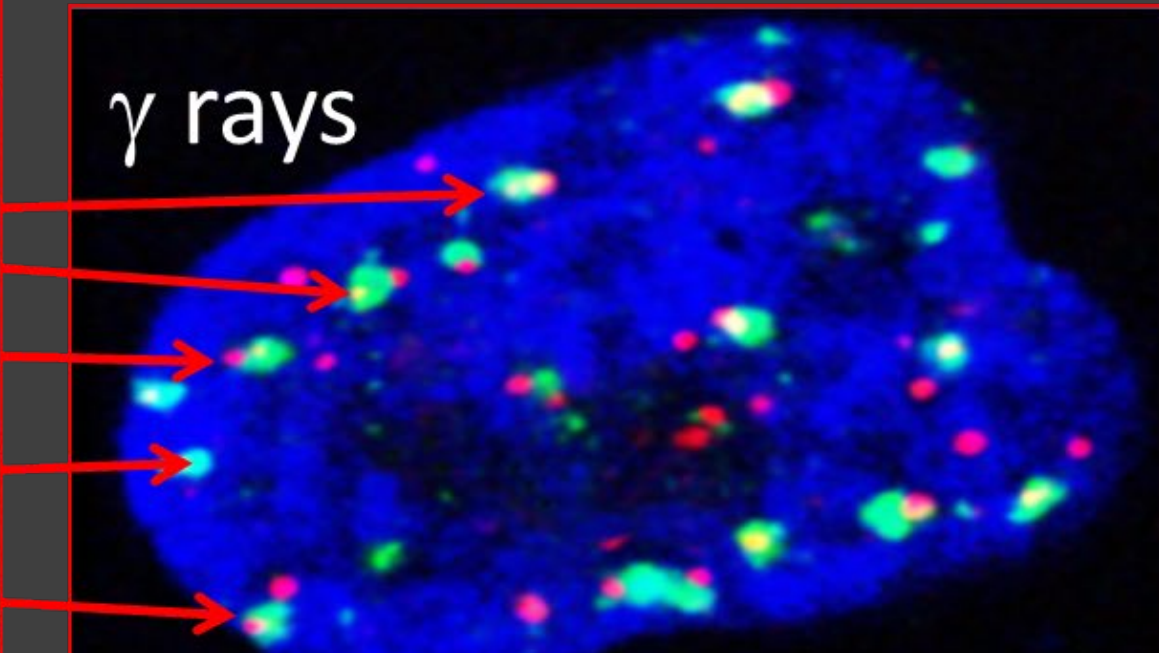
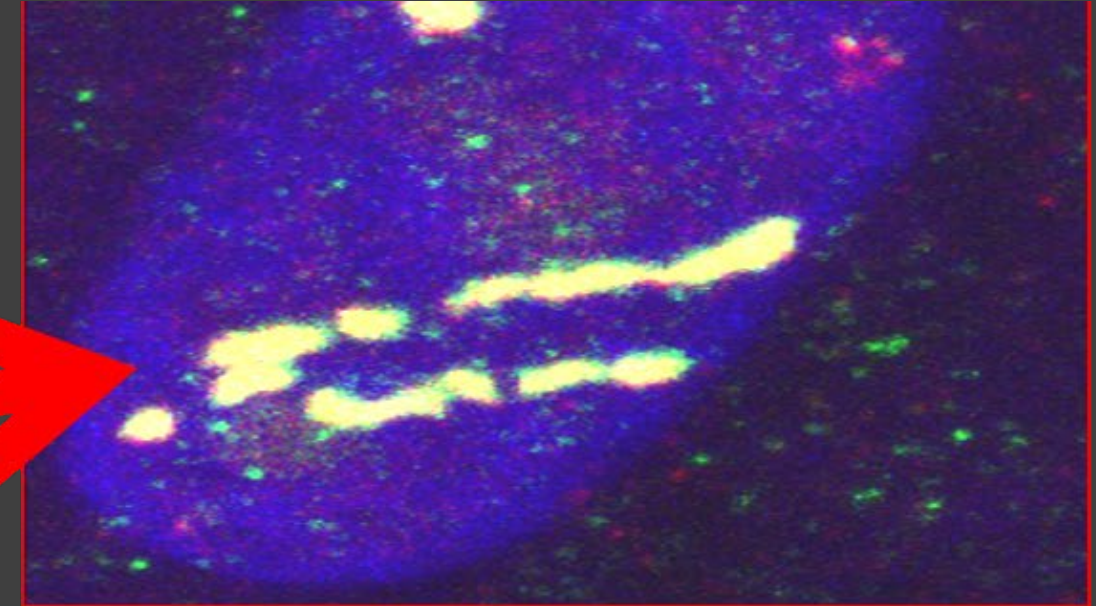
VS

nabité částice

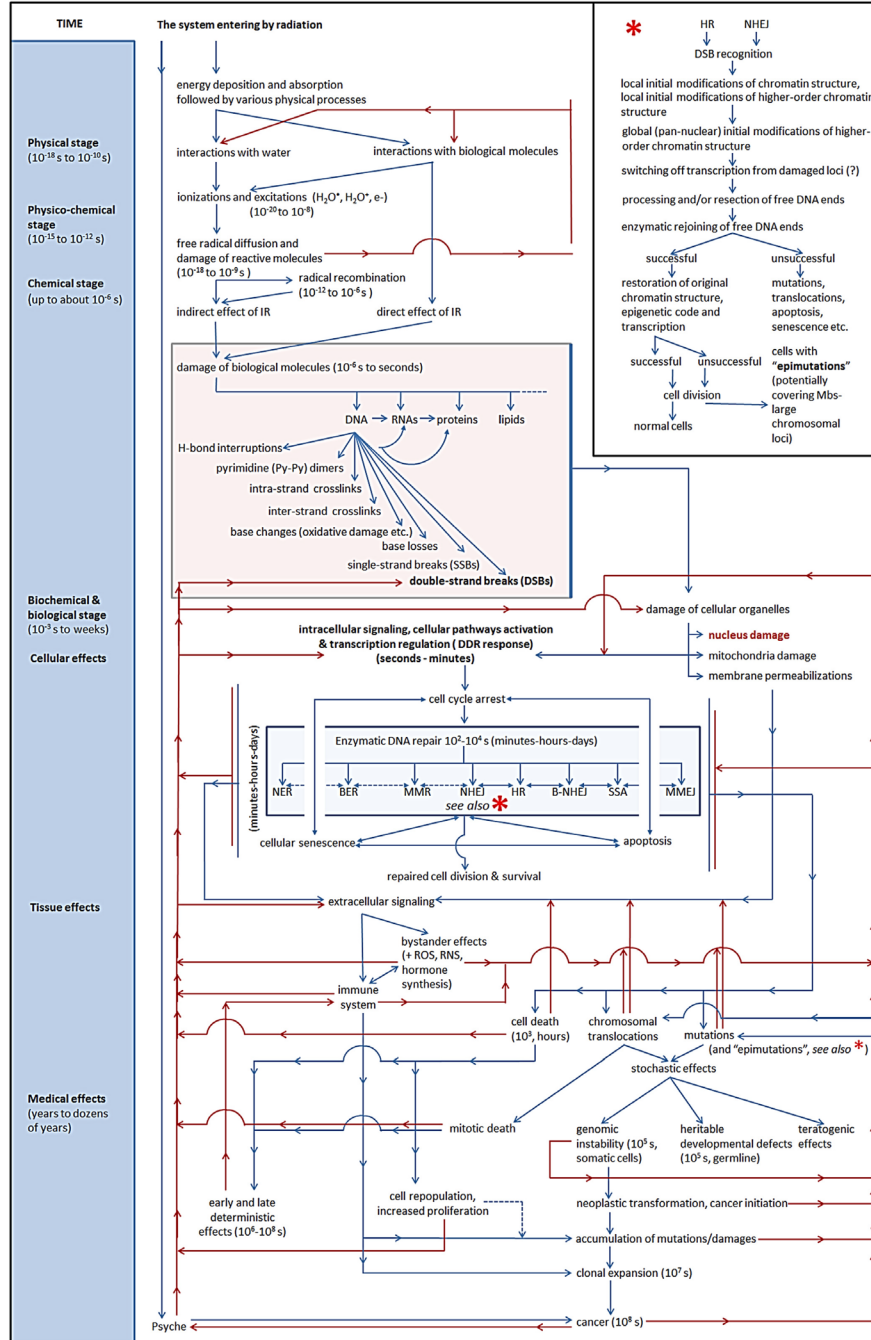


ENERGY DEPOSITION – DIFFERENT TYPES OF RADIATION





γ rays

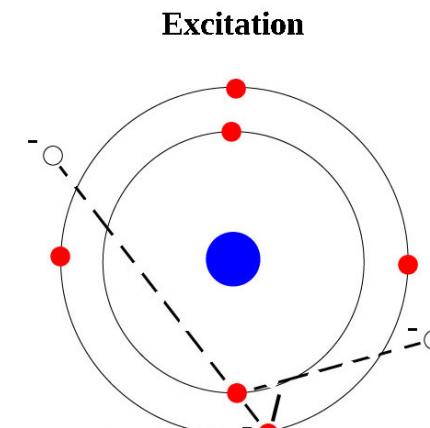
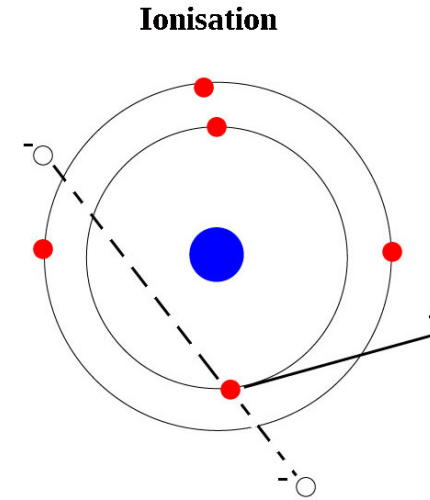


- Absorbce IZ vyvolává v živých systémech procesy, které jsou charakteristické
 - svou komplexností
 - extrémním časovým rozpětím (od attosekund [10^{-18}] po několik desetiletí)
- Pro lepší porozumění můžeme rozlišit několik fází (obr. vlevo):
 - Fyzikální
 - Fyzikálně-chemickou
 - Chemickou / biochemickou
 - Biologickou
 - Medicínskou
- rozhraní těchto fází jsou však neostré a v literatuře panují značné rozdíly zejména s ohledem na dobu jejich trvání
- Nejprve IZ interaguje s biologickými systémy řadou fyzikálních pochodů, které se nijak neliší od interakcí záření s neživou hmotou (viz dále)
- Totéž lze v principu říci i o chemické fázi, do interakcí však vstupují i biomolekuly specifické pro živé systémy



Interakce IZ s hmotou

- Absorbce IZ vede k postupnému předání energie záření hmotě, což vyvolá v ozářené látce nejprve procesy
 - **Fyzikální** (ihned po ozáření)
 - Fyzikální fáze je obdobím, kdy atomy a molekuly biologického systému absorbují energii záření.
 - Při interakci kvanta ionizujícího záření s hmotou je energie záření předávána elektronům v atomech,
 - primární záření a následně i elektrony vyražené z atomů primárním zářením ionizují a excitují velké množství dalších atomů.
 - **čímž se rozvíjí kaskády ionizací a excitací.**



VYSOKÁ ÚČINNOST IZ

- Za zmínu stojí, že ve srovnání s jinými formami energie je energie ionizujícího záření nezbytná k poškození či dokonce usmrcení člověka relativně velmi malá
- Například při celotělové expozici **10 Gy (10 J.kg⁻¹)** záření gama, tj. dávce, která již vyvolá smrtelnou formou nemoci z ozáření ($LD_{50} \sim 4 \text{ Gy}$), předá záření člověku o hmotnosti 80 kg pouze **800 J**.
- Přestože tato dávka 10 Gy zvýší tělesnou teplotu člověka pouze o **0,002 °C**, je ***schopna vyvolat smrt***.
- Přitom třeba k ohřátí 1 l vody o 1 °C potřebujeme 4180 J, tj. energii více než 4x větší.

γ IZ: $LD_{50} \sim 4 \text{ Gy}$



IZ: 10 Gy (10 J.kg⁻¹)
100% úmrtnost
 $\Delta T = 0,002 \text{ }^{\circ}\text{C}$



versus
X

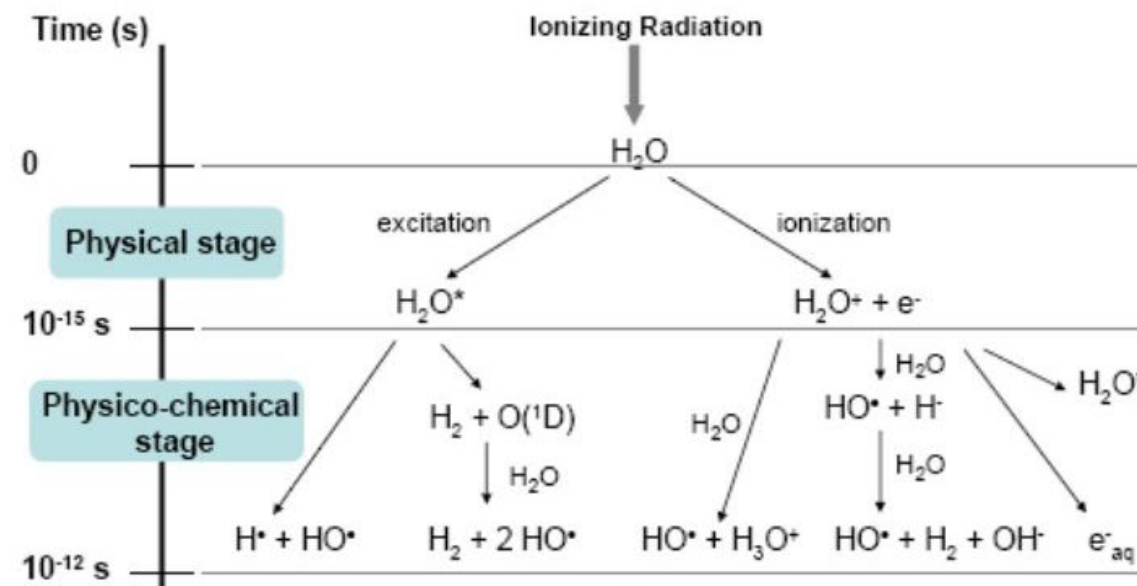


Tepelný ohřev:
 $V=1 \text{ litr H}_2\text{O}$
 $\Delta T=1 \text{ }^{\circ}\text{C}$
 $\rightarrow 4180 \text{ J}$
(tzn. 4x více)

Interakce IZ s hmotou

- **Fyzikálně-chemické** (zlomky sekund po ozáření; 10^{-14} až 10^{-10} s)
- Během tohoto stádia se rozvíjí sekundární fyzikálně-chemické procesy – **interakce vytvořených iontů s molekulami**, při nichž dochází k disociaci molekul a vzniku dalších reaktivních iontů a volných radikálů
- **radiolýzou vody H_2O** (nejčastější molekula v těle, viz dále) např. vznikají vodíkové kationty H^+ a hydroxylové anionty OH^- , radikály $H\cdot$, $OH\cdot \rightarrow NEPŘÍMÝ ÚČINEK IZ$
- I tento proces je velmi rychlý, netrvá déle než 10^{-14} - 10^{-10} sec.

Water radiolysis : detailed mechanisms



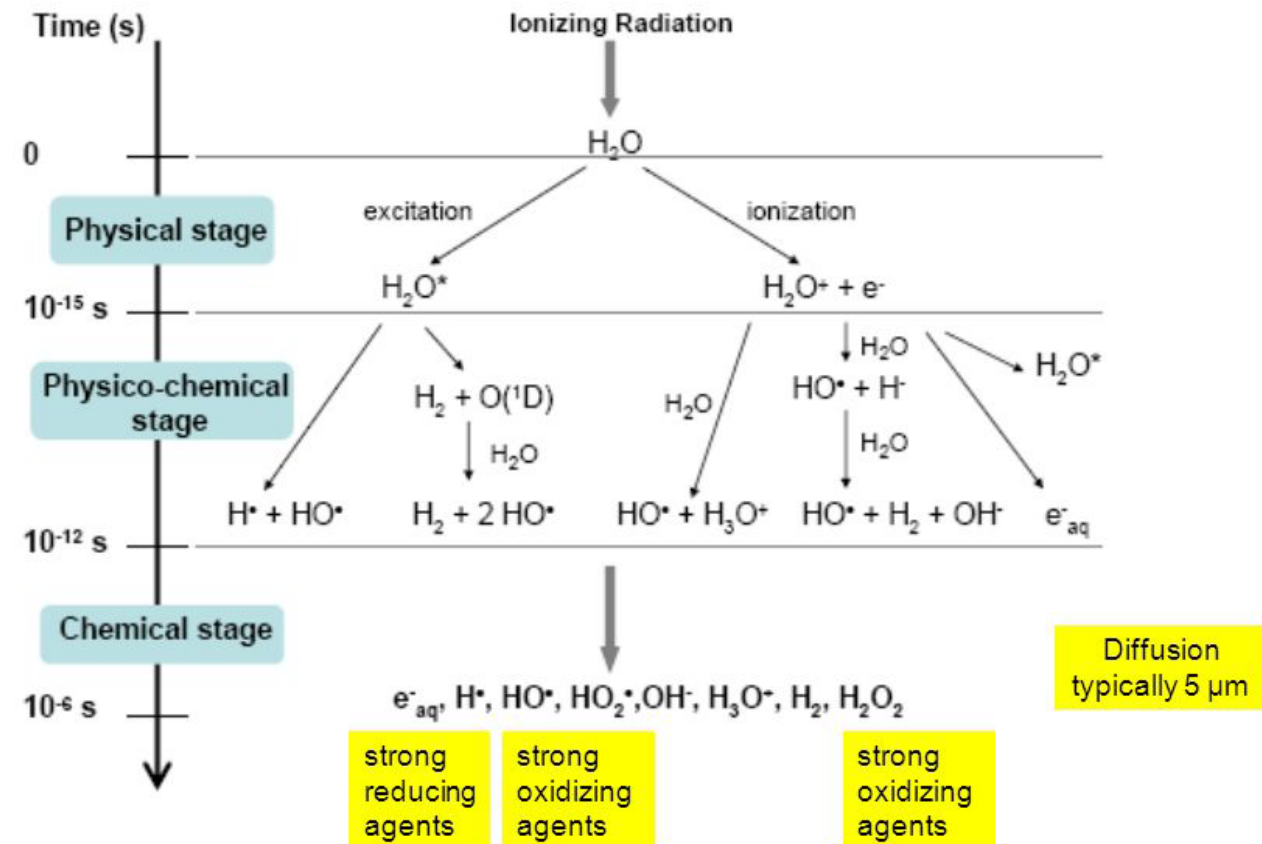
Interakce IZ s (živou) hmotou

- **CHEMICKÉ STÁDIUM**
- Vzájemnou rekombinací vytvořených radikálů některé z nich zanikají, a přestávají tak být pro biomolekuly nebezpečné; například vzniká opět voda
 - $\text{H}^\bullet \text{ a } \text{OH}^\bullet \rightarrow \text{H}_2\text{O}$
- Zbývající radikály mezi sebou též reagují za vzniku dalších více či méně reaktivních molekul
 - např. $\text{H}^\bullet \text{ a } \text{OH}^\bullet (+\text{O}_2) \rightarrow \text{H}_2 \text{ a } \text{H}_2\text{O}_2$
- **Radikály a další reaktivní molekuly** zároveň napadají další a další molekuly ve svém okolí



Fyzikální až chemické stádium interakce IZ s hmotou

Water radiolysis : detailed mechanisms



Sophie Le Caér (2011) Water Radiolysis: Influence of Oxide Surfaces on H_2 Production under Ionizing Radiation. *Water* 3, 235-253



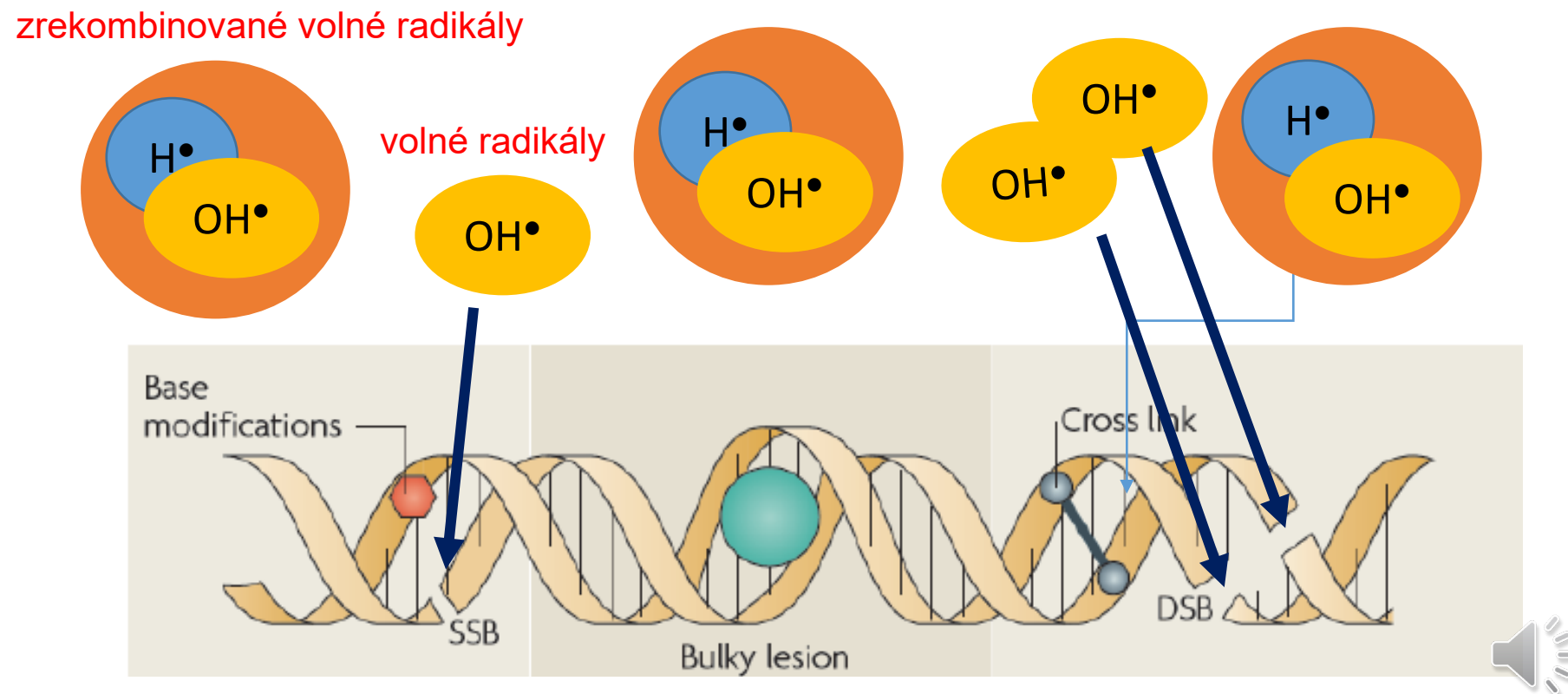
Specifika biologických systémů

- Až do chemického stádia je interakce neživé hmoty a živých organismů s IZ principiálně stejná,
- U živých organismů však do chemických reakcí vstupují i **biomolekuly**
- K fyzikálním a chemickým procesům se proto u živých organizmů následně přidávají i specifické procesy
 - chemické
 - biologické
 - eventuálně medicínské



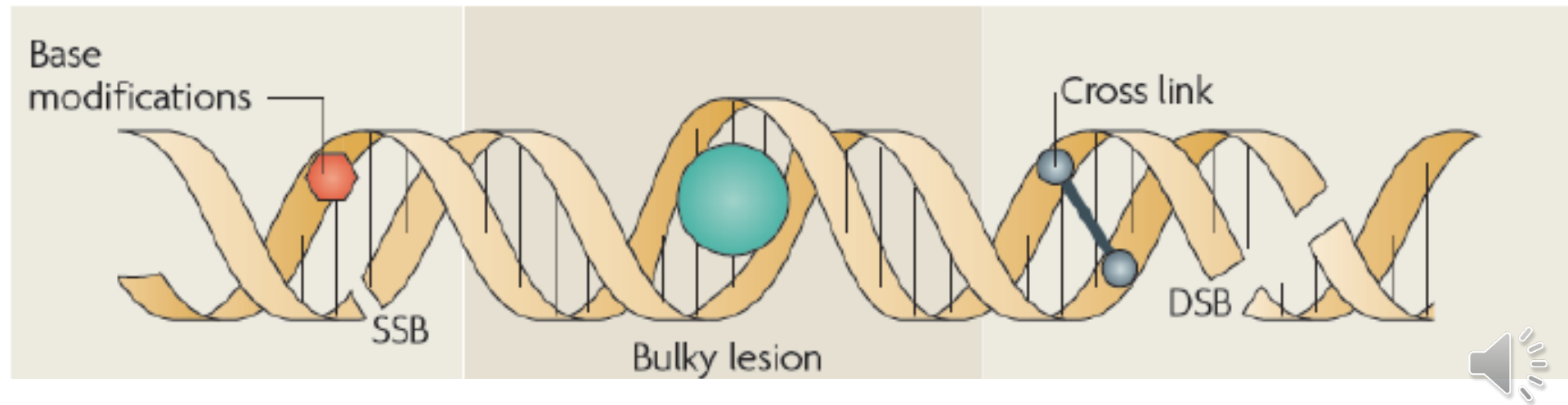
Chemické stádium interakce IZ s hmotou – specifika biologických systémů

- Nezrekombinované ionty, radikály, excitované atomy a další produkty reagují s biologicky důležitými organickými molekulami
- "atakují" DNA, RNA, enzymy, strukturní proteiny, lipidy membrán" přičemž často mění složení a funkci těchto molekul.



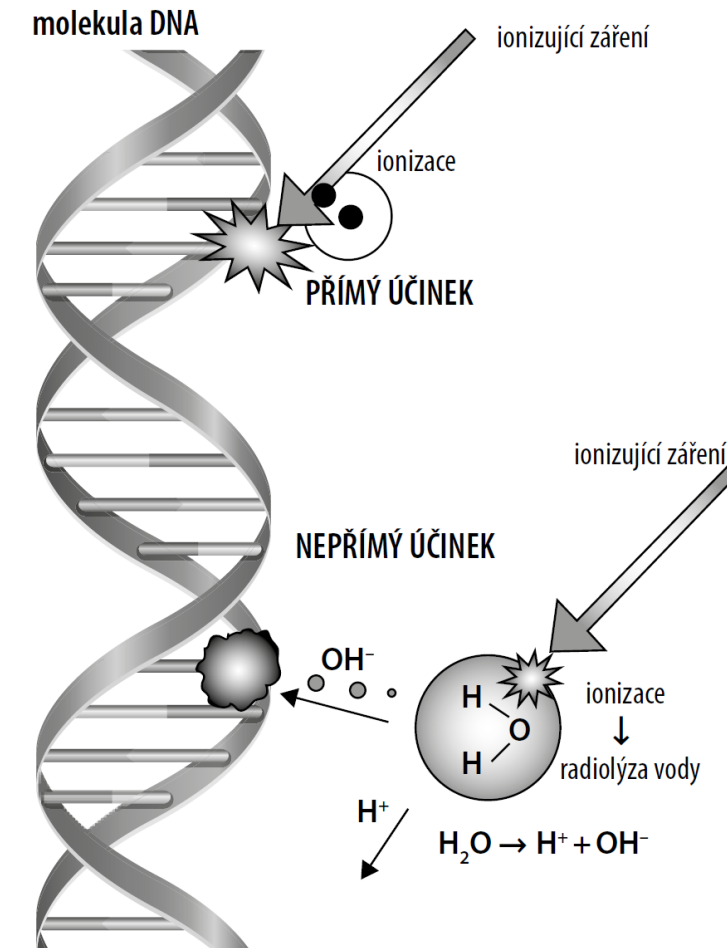
POŠKOZENÍ DNA – prvotní nastínění problému

- Typickou poruchou na molekulární úrovni jsou **zlomy vlákna v molekule DNA**
 - buď zlom jen jednoho vlákna (**SSB**, single strand break),
 - nebo úplný zlom dvojvlákna DNA (**DSB**, double strand break) → nejzávažnější poškození DNA
- Dále mohou vznikat atypické vazbové "můstky" uvnitř dvouvlákna DNA a mnohé další chemické změny cukr-fosfátové páteře DNA i jednotlivých bazí (problematicce poškození DNA bude věnována samostatná přednáška).

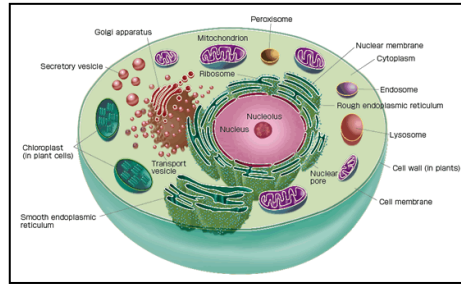


Chemické stádium interakce IZ s hmotou – specifika biologických systémů

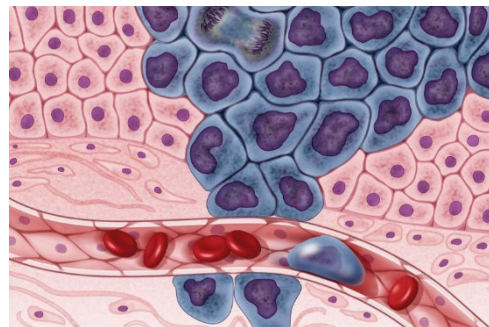
- Jednotlivé procesy chemického stádia **trvají různě dlouhou dobu** - od tisícin sekundy do řádově jednotek sekundy, v závislosti na transportní době reaktivních složek z místa svého vzniku do místa lokalizace napadené biomolekuly.
- **Zlomy v DNA mohou ale vznikat i přímo** následkem **fyzikální interakce IZ** nebo **sekundárních (delta) elektronů** (viz později) s DNA, nejen tedy následkem chemického poškození



Interakce IZ s živou hmotou BIOLOGICKÉ PROCESY



Změny na úrovni buněk



Změny na úrovni tkání, orgánů a orgánových soustav

Molekulární změny v biologicky důležitých látkách (DNA, enzymech, proteinech) mohou vyústit v **morfologické a funkční změny v buňkách** a orgánech, a následně i organismu jako celku.



Medicínské manifestace na úrovni celého organismu

- Biologické procesy probíhají v extrémně dlouhém časovém období desítek minut až několik desetiletí (!!) po ozáření



Interakce IZ – biologické stádium

- Buňky v závislosti na rozsahu poškození **umírají** nebo **přežijí** a **aktivují** komplexní odpověď buňky na ozáření, zejména na poškození DNA (DDR – DNA Damage Response).
- Cílem této odpovědi je **opravit** poškozené biomolekuly a navrátit buňku do původního stavu,

DDR –DNA damage response

